



2023

Influenza and ORV Report EW 12 / Reporte de Influenza y OVR SE 12

Data as of 31 March 2023 – Datos hasta el 31 de marzo del 2023



Regional Update: Influenza and Other Respiratory Viruses /
Actualización Regional: Influenza y otros virus respiratorios



WEEKLY REPORT DATA SOURCES

The information presented in this update is based on data provided by Ministries of Health and National Influenza Centers of Member States to the global informatics platforms FluNet and FluID; and reports/weekly bulletins that Ministries of Health published on its website or shared with PAHO/WHO.

Compared to the same period of the previous years, the current influenza surveillance data should be interpreted in light of the ongoing COVID-19 pandemic, which may have influence, to differing extents, health seeking behaviors, staffing/routines in sentinel sites, and testing capacities in Member States.

Due to the end-of-the-year holidays, under-reporting may affect the data below.

© Pan American Health Organization, 2023

Some rights reserved. This work is available under license CC BY-NC-SA 3.0 IGO.

La información presentada en esta actualización se obtiene a partir de los datos notificados por los Ministerios de Salud y los Centros Nacionales de Influenza de los Estados Miembros a las plataformas informáticas globales de la OPS/OMS: FluNet y FluID; y de los informes/boletines semanales que los Ministerios de Salud publican en sus páginas web o comparten con la OPS/OMS.

En comparación con el mismo período de los años anteriores, los datos actuales de vigilancia de la influenza deben interpretarse a la luz de la pandemia de COVID-19 en curso, que puede tener influencia en diferentes grados, comportamientos de búsqueda de salud, personal / rutinas en sitios centinela, y capacidades de prueba en los Estados Miembros.

Debido a las vacaciones de fin de año, el subregistro puede afectar los datos a continuación.

© Organización Panamericana de la Salud, 2023

Algunos derechos reservados. Esta obra está disponible en virtud de la licencia CC BY-NC-SA 3.0 IGO.

PAHO interactive data / Datos interactivos de la OPS:

PAHO FluNet: http://ais.paho.org/hip/viz/ed_flu.asp

PAHO FluID: <http://ais.paho.org/hip/viz/flumart2015.asp>

Influenza Situation Report / Informe de situación de influenza

In English: <https://www.paho.org/hq/influenzareport>

En español: www.paho.org/reportesinfluenza

Severe acute respiratory infections network – SARI*net* plus

Red de las infecciones respiratorias agudas graves – SARI*net* plus

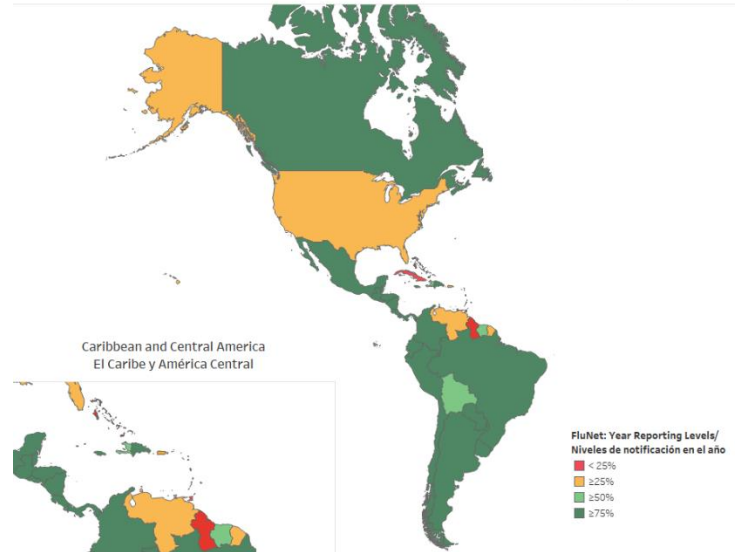
<http://www.sarinet.org>

[Go to Index](#) / [Ir al Índice](#)



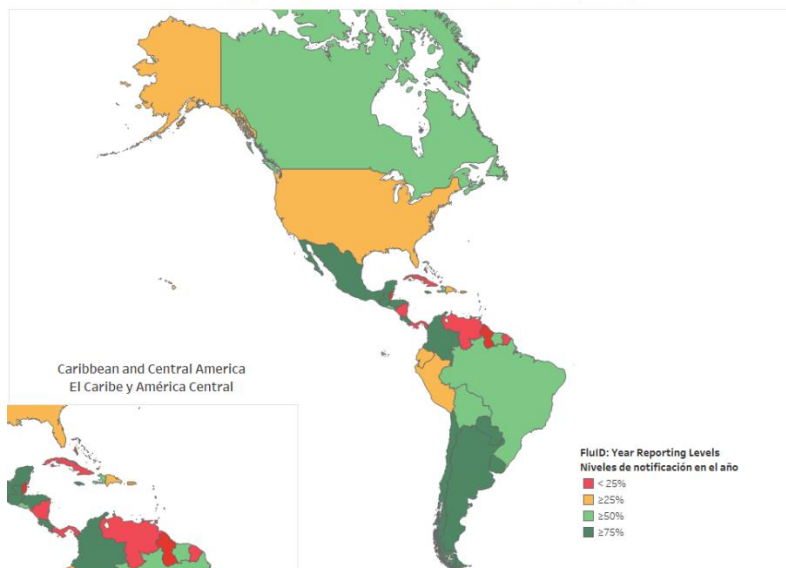
FluNet

Reporting percentage to FluNet during 2023 (EW 12)
 Porcentaje de notificación a FluNet en el 2023 (SE 12)



fluID

Reporting Percentage to fluID during 2023 (EW 12)
 Porcentaje de notificación a fluID en el 2023 (SE 12)



REPORT INDEX ÍNDICE DE LA ACTUALIZACIÓN

Weekly summary	5
Resumen semanal.....	6
Influenza Global Update 442 / Actualización de influenza a nivel mundial 442	7
Regional summary - Overall influenza and RSV circulation / Resumen regional - Circulación general de los virus influenza y VRS.....	9
Regional summary - Overall other respiratory virus and SARS-CoV-2 circulation / Resumen regional - Circulación general de otros virus respiratorios y SARS-CoV.....	10
Regional summary – SARS-CoV-2 variants of concern and Influenza virus genetic characterization / Resumen regional – Variantes de preocupación del SARS-CoV-2 y caracterización genética de los virus influenza.....	11
Weekly and cumulative numbers / Números semanales y acumulados	12
Epidemiological and virologic updates by country / Actualización epidemiológica y virológica por país.....	13
North America / América del Norte	14
Caribbean / Caribe	18
Central America / América Central.....	28
South America / América del Sur – Andean Countries / Países Andinos.....	35
South America / América del Sur / South Cone and Brazil / Cono Sur y Brasil.....	41
Technical note / Nota técnica	47
Acronyms / Acrónimos	48





WEEKLY SUMMARY

North America: Influenza virus activity decreased throughout the sub-region, with the predominance of influenza B viruses. All seasonal influenza subtypes were detected. SARS-CoV-2 circulates at moderate levels, while RSV activity was generally low. Influenza activity was low in [Canada](#) and the [United States](#). In [Mexico](#), influenza activity has recently increased at a low-intensity level, with elevated SARS-CoV-2 and RSV activity.

Caribbean: Influenza percent positivity was moderate, driven mainly by influenza B/Victoria lineage viruses. In addition, the influenza A(H1N1)pdm09 virus co-circulated. In [Belize](#), influenza activity was increased, with influenza B/Victoria lineage and influenza A(H1N1)pdm09 co-circulation. Overall, SARS-CoV-2 and RSV activity were low in the subregion.

Central America: Influenza activity was moderate, with influenza B/Victoria virus predominance and co-circulation of influenza A(H3N2) and A(H1N1)pdm09. In [El Salvador](#), influenza activity was elevated due to influenza B/Victoria and A(H3N2) viruses, and [Guatemala](#) reported increased activity with all seasonal subtypes detected. In [Honduras](#), influenza activity was increased due to influenza B viruses. SARS-CoV-2 percent positivity dropped in the subregion, except in [Costa Rica](#). RSV activity was low overall.

Andean: Influenza activity was low, predominating influenza A(H1N1)pdm09 viruses; influenza B/Victoria and A(H3N2) viruses co-circulated. [Bolivia](#) reported increased influenza activity, with SARI cases / 100 hospitalizations at moderate levels and 14% positive for influenza. In the subregion, SARS-CoV-2 and RSV activity were low overall.

Brazil and Southern Cone: Influenza activity was low, with influenza B viruses more frequently detected and all seasonal influenza subtypes detected. Increased SARS-CoV-2 activity was reported in [Brazil](#), [Chile](#), and [Paraguay](#), while RSV was elevated in [Brazil](#).

Global: Influenza activity decreased following a peak in late 2022 but increased again in late February to March with an increase in influenza B virus activity. During this reporting period, influenza A viruses predominated, with a larger proportion of A(H1N1)pdm09 viruses detected among the subtyped influenza A viruses. In Europe, overall influenza detections decreased, and influenza positivity from sentinel sites was stable and remained above the epidemic threshold at the regional level. Out of 37 countries, 16 reported medium intensity, with the remainder reporting low or below baseline intensity. Eighteen of 36 countries reported widespread activity. Overall, influenza B viruses predominated in both sentinel and non-sentinel surveillance, as all subregions experienced a wave of influenza B activity after an initial influenza A wave. In Central Asia, influenza activity decreased. In Northern Africa, influenza detections were very low across reporting countries. In Western Asia, influenza activity continued to be reported in some countries with detections of all seasonal influenza subtypes. In East Asia, influenza activity of predominantly A(H1N1)pdm09 steeply increased in China but decreased in the other reporting countries. In tropical Africa, influenza activity increased in some countries of Western Africa, while detections were low across reporting countries in Middle and Eastern Africa. In Southern Asia, influenza activity remained low, with influenza A(H3N2) and B/Victoria lineage viruses predominant. In South-East Asia, influenza activity remained elevated, with influenza B mainly detected in Malaysia and A(H3N2) in Singapore and Thailand. In the temperate zones of the southern hemisphere, influenza activity remained low.

SARS-CoV-2 positivity from sentinel surveillance remained around 20% globally. Activity remained at about 25% in the WHO Region of the Americas and around 15% in the Eastern Mediterranean region. Activity remained around 10% in the other regions. SARS-CoV-2 positivity from non-sentinel surveillance was reported at approximately 30% globally.

Avian Influenza: A summary of the avian influenza situation in the region, case management and recommendations are available at [Epidemiological alerts and updates | PAHO/WHO | Pan American Health Organization \(paho.org\)](#)





RESUMEN SEMANAL

América del Norte: la actividad del virus de la influenza disminuyó en toda la subregión, con predominio de los virus influenza B. Se detectaron todos los subtipos de influenza estacional. El SARS-CoV-2 circula a niveles moderados, mientras que la actividad del VRS estuvo baja. La actividad de la influenza estuvo baja en [Canadá](#) y los [Estados Unidos](#). En [México](#), la actividad de la influenza ha aumentado recientemente a un nivel de baja intensidad, con una actividad de SARS-CoV-2 y del VRS elevada.

Caribe: el porcentaje de positividad de la influenza estuvo moderado, debido principalmente por las detecciones de influenza B linaje Victoria. Además, circuló concurrentemente el virus influenza A(H1N1)pdm09. En [Belice](#) la actividad de la influenza aumentó con la circulación concurrente de influenza B linaje Victoria e influenza A(H1N1)pdm09. En general, la actividad del SARS-CoV-2 y del VRS estuvo baja en la subregión.

América Central: la actividad de la influenza estuvo moderada, con predominio de influenza B/Victoria y circulación concurrente de los virus influenza A(H3N2) y A(H1N1)pdm09. En [El Salvador](#), la actividad de la influenza estuvo elevada debido a los virus influenza B/Victoria y A(H3N2), y [Guatemala](#) reportó una mayor actividad con circulación de todos los subtipos estacionales. En [Honduras](#), la actividad de la influenza se incrementó debido a los virus influenza B. El porcentaje de positividad del SARS-CoV-2 disminuyó en la subregión, excepto en [Costa Rica](#). La actividad del VRS estuvo baja en general.

Países Andinos: la actividad de la influenza estuvo baja, predominando los virus influenza A(H1N1)pdm09; con circulación concurrente de los virus influenza B/Victoria y A(H3N2). [Bolivia](#) reportó un aumento en la actividad de la influenza, con un número de casos de IRAG por cada 100 hospitalizaciones en niveles moderados y un 14 % positivos para influenza. En la subregión la actividad de SARS-CoV-2 y del VRS estuvo baja en general.

Brasil y Cono Sur: la actividad de la influenza estuvo baja, con detección más frecuente de los virus influenza B. Se detectaron todos los subtipos de influenza estacional. Se reportó una mayor actividad de SARS-CoV-2 en [Brasil](#), [Chile](#) y [Paraguay](#), mientras que el VRS estuvo elevado en [Brasil](#).

Global: la actividad de la influenza disminuyó luego de un pico a fines de 2022, volviendo a aumentar entre fines de febrero y marzo con un aumento en la actividad del virus influenza B. Durante el período reportado, predominaron los virus influenza A, con una mayor proporción de virus A(H1N1)pdm09 en las muestras con subtipo determinado. En general en Europa las detecciones de influenza disminuyeron y la positividad de la influenza en los sitios centinela se mantuvo estable y por encima del umbral epidémico a nivel regional. De 37 países, 16 reportaron una intensidad media, y el resto reportó una intensidad baja o por debajo de la línea basal. Dieciocho de 36 países reportaron actividad generalizada. En general, los virus influenza B predominaron tanto en la vigilancia centinela como en la no centinela, ya que todas las subregiones experimentaron una ola de actividad de influenza B después de una ola inicial de influenza A. En Asia central la actividad de la influenza disminuyó. En el norte de África las detecciones de influenza estuvieron muy bajas en todos los países que reportaron. En algunos países de Asia occidental continuó el reporte de actividad de la influenza con detecciones de todos los subtipos de influenza estacional. En el este de Asia la actividad de la influenza, predominantemente A(H1N1)pdm09, aumentó considerablemente en China, pero disminuyó en los demás países que reportaron. En África tropical la actividad de la influenza aumentó en algunos países de África occidental, mientras que en los países que reportaron de África central y oriental las detecciones estuvieron bajas. En el sur de Asia la actividad de la influenza se mantuvo baja, con predominio de los virus influenza A(H3N2) y B/Victoria. En el sudeste asiático, la actividad de la influenza se mantuvo elevada, con detecciones de influenza B principalmente en Malasia y A(H3N2) en Singapur y Tailandia. En las zonas templadas del hemisferio sur la actividad de la influenza se mantuvo baja.

A nivel mundial la positividad del SARS-CoV-2 en la vigilancia centinela se mantuvo alrededor del 20,0 %. La actividad se mantuvo en alrededor del 25,0 % en la Región de las Américas y aumentó al 15 % en el Mediterráneo oriental y en el Pacífico occidental. La actividad se mantuvo por debajo del 10,0 % en las demás regiones. La positividad de SARS-CoV-2 en la vigilancia no centinela estuvo alrededor del 30,0 %.

Influenza Aviar: el resumen sobre la situación epidemiológica de influenza aviar en la región, manejo de los casos y recomendaciones se encuentran disponibles en [Alertas y actualizaciones epidemiológicas | OPS/OMS | Organización Panamericana de la Salud \(paho.org\)](#)





Influenza Global Update 442 / Actualización de influenza a nivel mundial 442

3 April 2023 / 3 de abril de 2023

Based on data up to 19 March 2023 / datos al 19 de marzo de 2023

Temperate zone of the northern hemisphere: In **Europe**, overall influenza detections decreased, and influenza positivity from sentinel sites was stable and remained above the epidemic threshold at the regional level. Out of 37 countries, 16 reported medium intensity, with the remainder reporting low or below baseline intensity. Eighteen of 36 countries reported widespread activity. Overall, influenza B viruses predominated in both sentinel and non-sentinel surveillance, as all subregions experienced a wave of influenza B activity after an initial influenza Pooled all-cause mortality estimates from the EuroMomo network showed an elevated but decreasing excess mortality in all age groups. The proportion of sentinel specimens testing positive for influenza remained greater than the proportion testing positive for SARS-CoV-2. In **Central Asia**, influenza detections were few and continued to decrease in Tajikistan. In **Northern Africa**, influenza detections were very low across reporting countries. Influenza B/Victoria lineage virus detections decreased in Tunisia. In **Western Asia**, influenza activity was reported in Armenia predominantly due to influenza B/Victoria lineage virus detections. SARS-CoV-2 activity continued to increase in the United Arab Emirates. ILI activity remained elevated in Armenia. In **East Asia**, ILI and influenza activity increased steeply in both northern and southern provinces in China, with A(H1N1)pdm09 viruses mainly detected, followed by A(H3N2) viruses. ILI activity remained stable, just above the seasonal threshold in the Republic of Korea. In Mongolia, detections of all seasonal influenza subtypes, ILI, and hospitalizations decreased but remained above expected levels.

Tropical Africa: In **Western Africa**, detections of predominately influenza A(H1N1)pdm09 viruses appeared to increase in Burkina Faso and Togo, remained stable in Ghana, and decreased in Côte D'Ivoire. In **Middle Africa**, influenza detections were very low across reporting countries. In **Eastern Africa**, all seasonal subtypes were detected with influenza A(H1N1)pdm09 predominant. Detections decreased overall and remained low across reporting countries. Emergency visits for ILI increased in Mayotte, indicating an epidemic phase with influenza B viruses predominates.

Tropical Asia: In **Southern Asia**, influenza detections of all seasonal influenza subtypes remained low across reporting countries, except for India and Nepal, where detections of mainly influenza A(H3N2) followed by B/Victoria lineage viruses increased in recent weeks. ILI rates remained elevated in Bangladesh and Nepal, and SARI rates increased or remained elevated in Bangladesh and Bhutan. In **South-East Asia**, influenza detections remained elevated due to continued detections in Malaysia and increased detections in Singapore and Thailand.

Temperate zone of the southern hemisphere: In **Oceania**, overall, influenza detections and activity remained at inter-seasonal levels, with both influenza A and B viruses reported. In **South Africa**, influenza activity remained at an inter-seasonal level. The RSV detection rate among children aged <5 years in pneumonia surveillance continued to increase and was at a moderate level compared to previous years.

National Influenza Centers (NICs) and other national influenza laboratories from 115 countries, areas, or territories reported data to FluNet from 6 March to 19 March 2023. The WHO GISRS laboratories tested more than 349 552¹ specimens during that period. A total of 46 911 specimens were positive for influenza viruses, of which 34 346 (73.2%) were typed as influenza A and 12 565 (26.8%) as influenza B. Of the sub-typed influenza A viruses, 20 264 (70.3%) were influenza A(H1N1)pdm09, and 8560 (29.7%) were influenza A(H3N2). Of the characterized B viruses, all 1479 (100.0%) belonged to the B/Victoria lineage.

Full information available online in the following WHO site: [Latest influenza update](#)

Zona templada del hemisferio norte: en **Europa**, en general las detecciones de influenza disminuyeron y la positividad en los sitios centinela se mantuvo estable y por encima del umbral epidémico a nivel regional. De 37 países, 16 reportaron una intensidad media, y el resto reportó una intensidad baja o por debajo de la línea basal. Dieciocho de 36 países reportaron actividad generalizada. En general, los virus de la influenza B predominaron tanto en la vigilancia centinela como en la no centinela, ya que todas las subregiones experimentaron una ola de actividad de influenza B después de una ola inicial de influenza A. Las estimaciones agrupadas de mortalidad por todas las causas de la red EuroMomo mostraron un exceso de mortalidad elevado pero con tendencia decreciente en todos los grupos de edad. La proporción de muestras centinela que resultó positiva para influenza continuó siendo mayor que la proporción que resultó positiva para SARS-CoV-2. En **Asia central**, las detecciones de influenza fueron pocas y continuaron disminuyendo en Tayikistán. En el **norte de África**, las detecciones

¹ It includes data only from countries reporting on positive and negative influenza specimens. Incluye datos únicamente de países que notifican muestras positivas y negativas para influenza.





de influenza fueron muy bajas en todos los países que reportaron. Las detecciones del virus de la influenza B, linaje Victoria, disminuyeron en Túnez. En **Asia occidental**, en Armenia se reportó actividad de la influenza principalmente debido a detecciones del virus B, linaje Victoria. La actividad del SARS-CoV-2 siguió aumentando en los Emiratos Árabes Unidos. La actividad de la ETI se mantuvo elevada en Armenia. En el **este de Asia**, la actividad de la ETI y de la influenza aumentó considerablemente en las provincias del norte y del sur de China, y se detectaron principalmente los virus A(H1N1)pdm09, seguidos por los virus A(H3N2). La actividad de la ETI se mantuvo estable, justo por encima del umbral estacional en la República de Corea. En Mongolia, las detecciones de todos los subtipos de influenza estacional, ETI y hospitalizaciones disminuyeron pero se mantuvieron por encima de los niveles esperados.

África tropical: en **África occidental**, las detecciones de virus predominantemente influenza A(H1N1)pdm09 parecieron aumentar en Burkina Faso y Togo, se mantuvieron estables en Ghana y disminuyeron en Costa de Marfil. En **África central**, las detecciones de influenza estuvieron muy bajas en todos los países que reportaron. En **África oriental**, se detectaron todos los subtipos estacionales con predominio de influenza A(H1N1)pdm09. Las detecciones disminuyeron en general y se mantuvieron bajas en todos los países informantes. Las consultas por ETI a emergencia aumentaron en Mayotte, lo que indica una fase epidémica con predominio de influenza B.

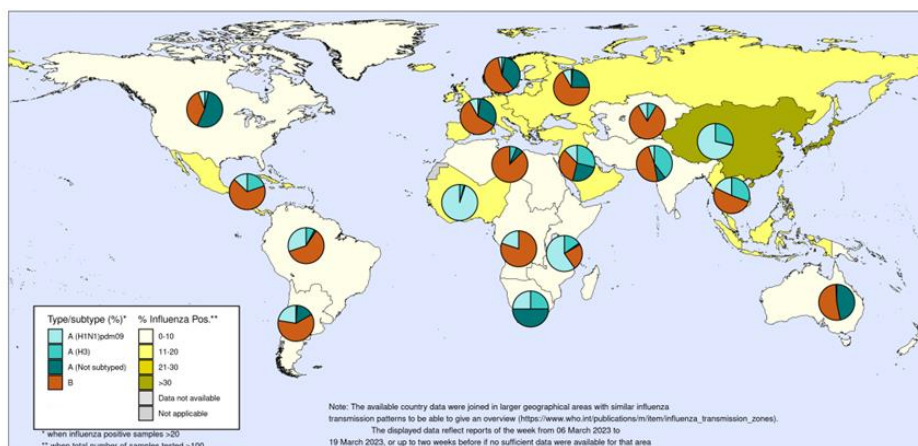
Asia tropical: en el **sur de Asia**, las detecciones de influenza de todos los subtipos de influenza estacional se mantuvieron bajas en los países que reportaron, excepto India y Nepal, donde las detecciones principalmente de influenza A(H3N2) seguidas de influenza B/Victoria aumentaron en las últimas semanas. Las tasas de ETI se mantuvieron elevadas en Bangladesh y Nepal, y las tasas de IRAG aumentaron o permanecieron elevadas en Bangladesh y Bután. En el **sudeste Asiático**, las detecciones de influenza se mantuvieron elevadas debido a las continuas detecciones en Malasia y al aumento de las detecciones en Singapur y Tailandia.

Zona templada del hemisferio sur: en **Oceanía**, en general, las detecciones y la actividad de la influenza se mantuvieron en niveles interestacionales, con reporte de los virus influenza A y B. En **Sudáfrica**, la actividad de la influenza se mantuvo en un nivel interestacional. La tasa de detección del VRS en niños menores de 5 años en la vigilancia de la neumonía siguió en aumento y se mantuvo en un nivel moderado en comparación con años previos.

Los **Centros Nacionales de Influenza (CNI)** y otros laboratorios nacionales de influenza de 115 países, áreas o territorios reportaron sus datos a FluNet para el período comprendido entre el 6 y el 19 de marzo de 2023. Los laboratorios GISRS de la OMS analizaron más de 349 552¹ muestras durante ese período. Un total de 46 911 muestras resultaron positivas para los virus de la influenza, de las cuales 34 346 (73,2 %) se tipificaron como influenza A y 12 565 (26,8 %) como influenza B. De los virus influenza A, a los cuales se les identificó el subtipo, 20 264 (70,3 %) fueron influenza A(H1N1)pdm09 y 8560 (29,7 %) fueron influenza A(H3N2). De los virus influenza B caracterizados, todos los 1479 (100,0 %) correspondieron al linaje Victoria.

Información completa disponible en línea en el siguiente sitio de la OMS: [Última actualización sobre la gripe](#)

Percentage of respiratory specimens that tested positive for influenza by influenza transmission zone. Map generated on 31 March 2023 / Porcentaje de muestras respiratorias que resultaron positivas para influenza por zona de transmisión de influenza. Mapa producido el 31 de marzo de 2023



The boundaries and names shown and the designations used on this map do not imply the expression of any opinion whatsoever on the part of the World Health Organization concerning the legal status of any country, territory, city or area or of its authorities, or concerning the delimitation of its frontiers or boundaries. Dotted and dashed lines on maps represent approximate border lines for which there may not yet be full agreement.
Data source: Global Influenza Surveillance and Response System (GISRS), FluNet (<https://www.who.int/initiatives/global-influenza-surveillance-and-response-system>)
Copyright WHO 2023. All rights reserved.

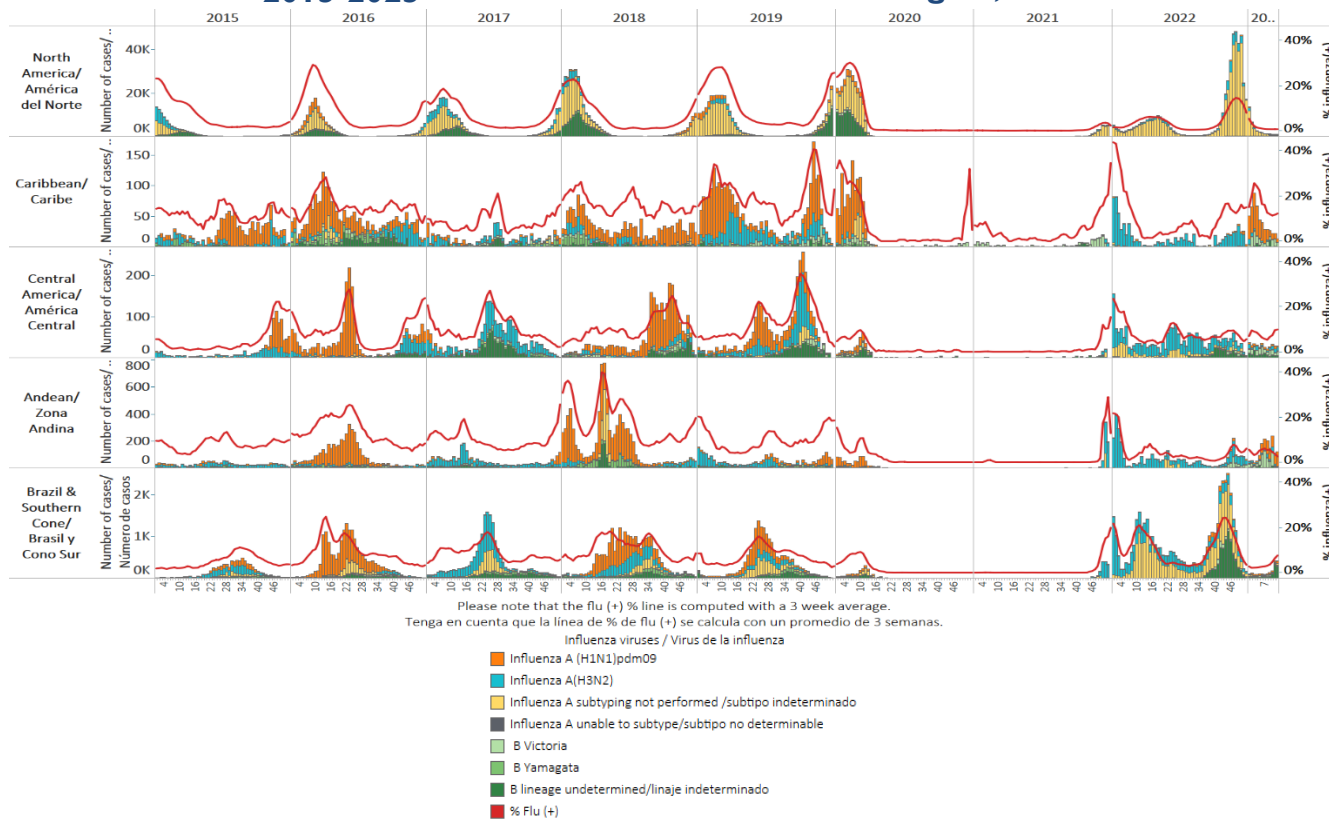




REGIONAL SUMMARY / RESUMEN REGIONAL

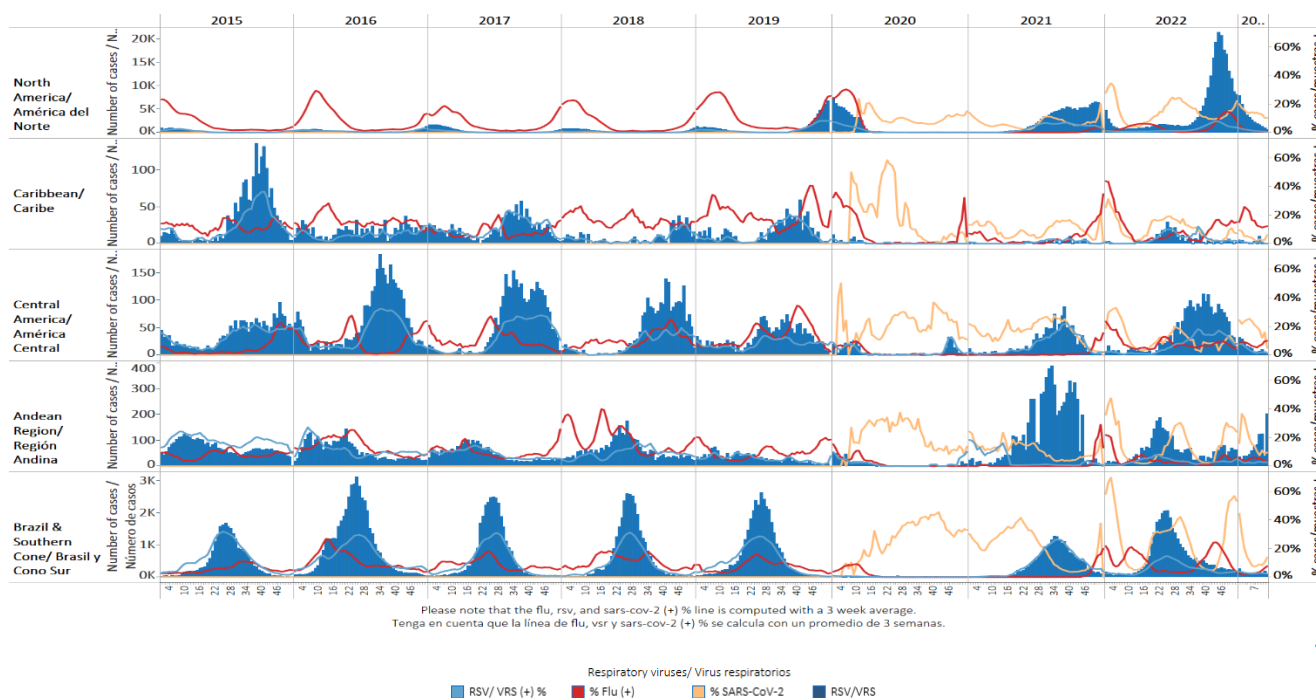
Influenza circulation by subregion, 2015-2023

Circulación virus influenza por subregión, 2015-2023



Respiratory syncytial virus (RSV) circulation by Subregion, 2015-2023

Circulación virus respiratorio sincitial (VRS) por subregión, 2015-2023

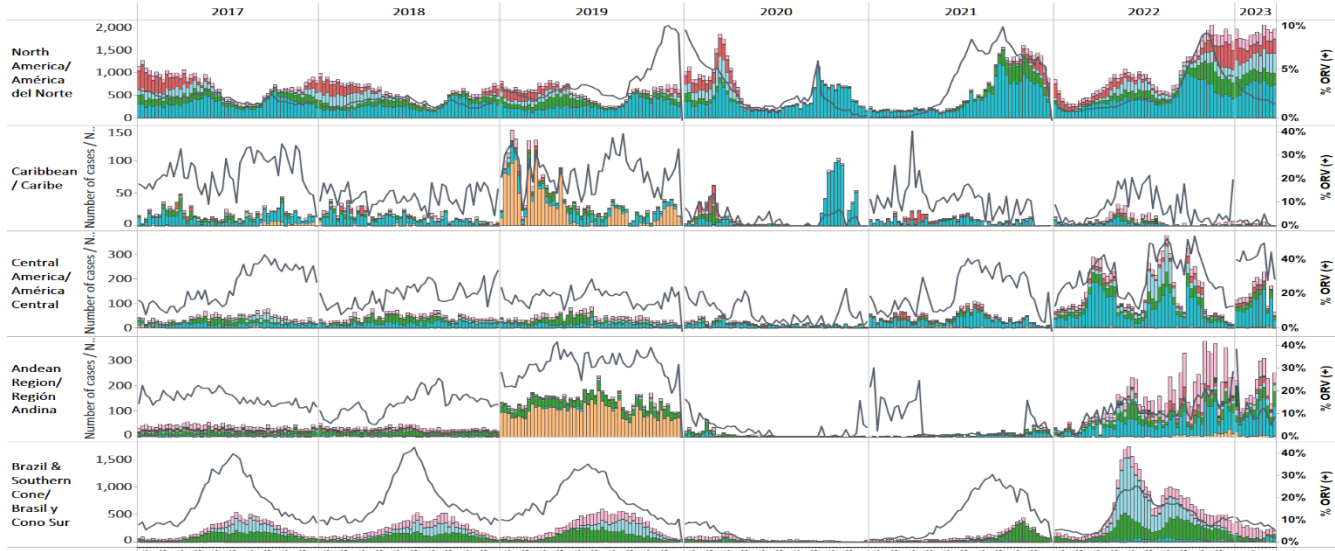




REGIONAL SUMMARY / RESUMEN REGIONAL

Other respiratory viruses (ORV)
 circulation by subregion, 2017-2023

Circulación de otros virus respiratorios
 (OVR) por subregión, 2017-2023

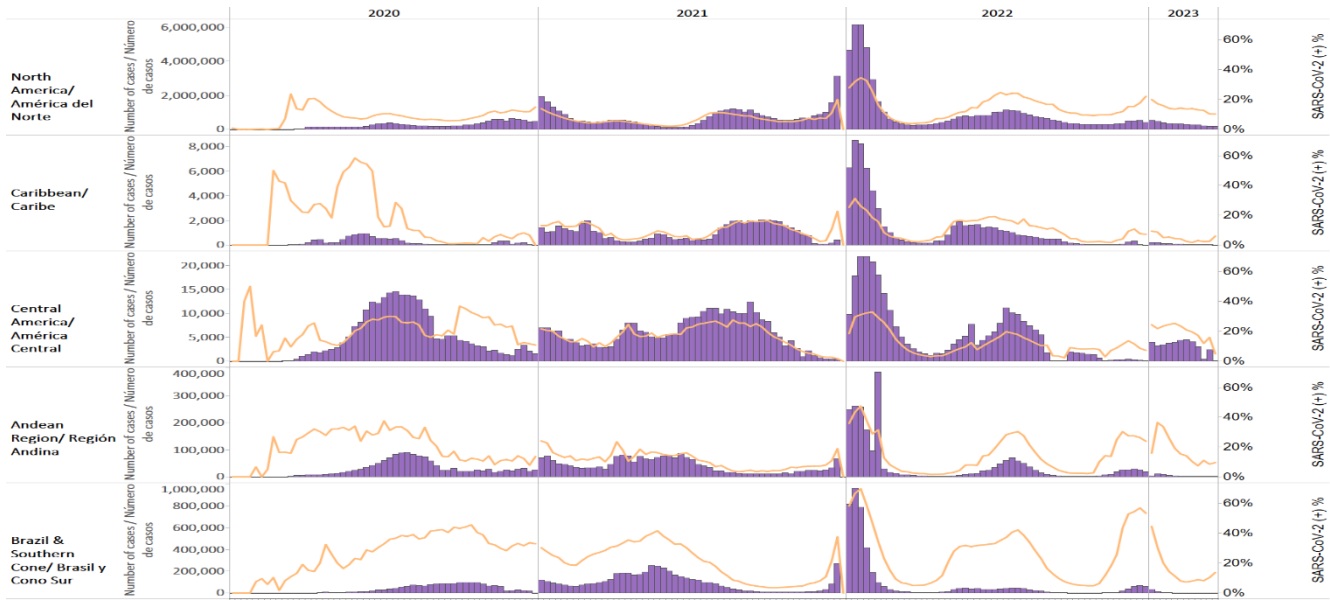


Please note that the other respiratory virus (+) % line is computed with a 3 week average.
 Tenga en cuenta que la línea de % (+) de otros virus respiratorios se calcula con un promedio de 3 semanas.

Respiratory viruses / Virus respiratorios
 Adenovirus Bocavirus Coronavirus Metapneumovir.. Parainfluenza Rhinovirus Other viruses/Ot.. % Other Respirat..

SARS-CoV-2 circulation by Subregion,
 2020 – 2023

Circulación de SARS-CoV-2 por
 subregión, 2020 – 2023



Please note that the other respiratory virus (+) % line is computed with a 3 week average.
 Tenga en cuenta que la línea de % (+) de otros virus respiratorios se calcula con un promedio de 3 semanas.

* North America/América del Norte:
 Combined U.S. Laboratories Reporting to CDC: Public Health Laboratories and a Subset of Commercial and Clinical Laboratories.

SARS-CoV-2 (+) SARS-CoV-2 (+) %

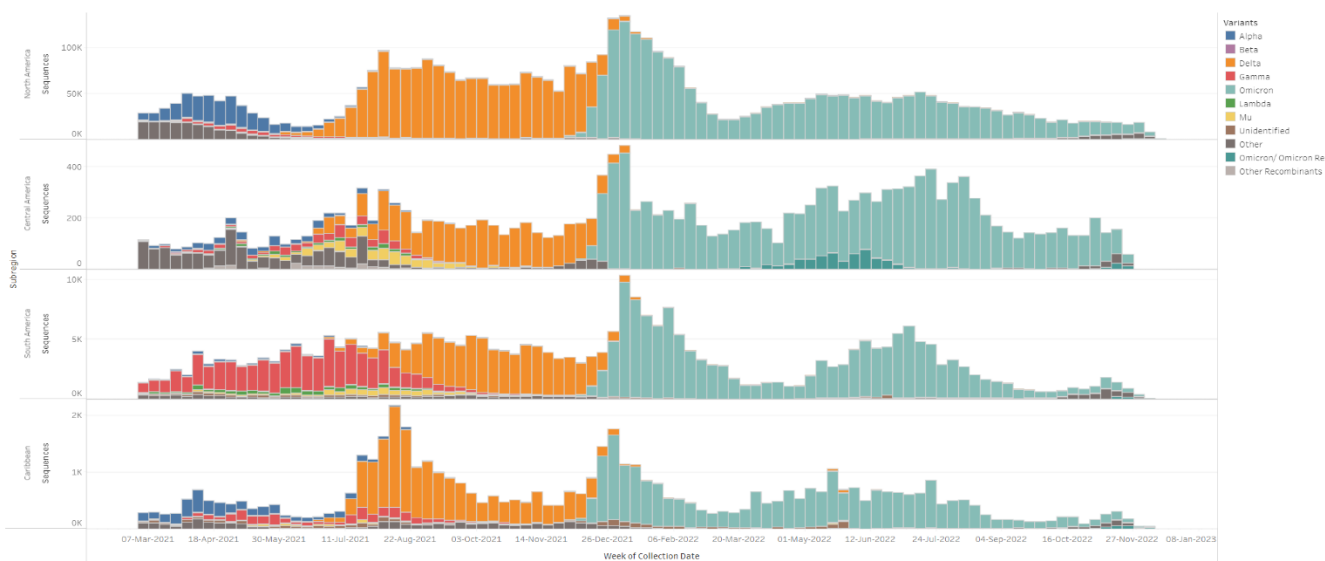




REGIONAL SUMMARY / RESUMEN REGIONAL

SARS-CoV-2 Variants of Concern by Subregion, February 2021 – December 2022

Variantes de preocupación del SARS-CoV-2 por subregión, febrero de 2021 – diciembre de 2022



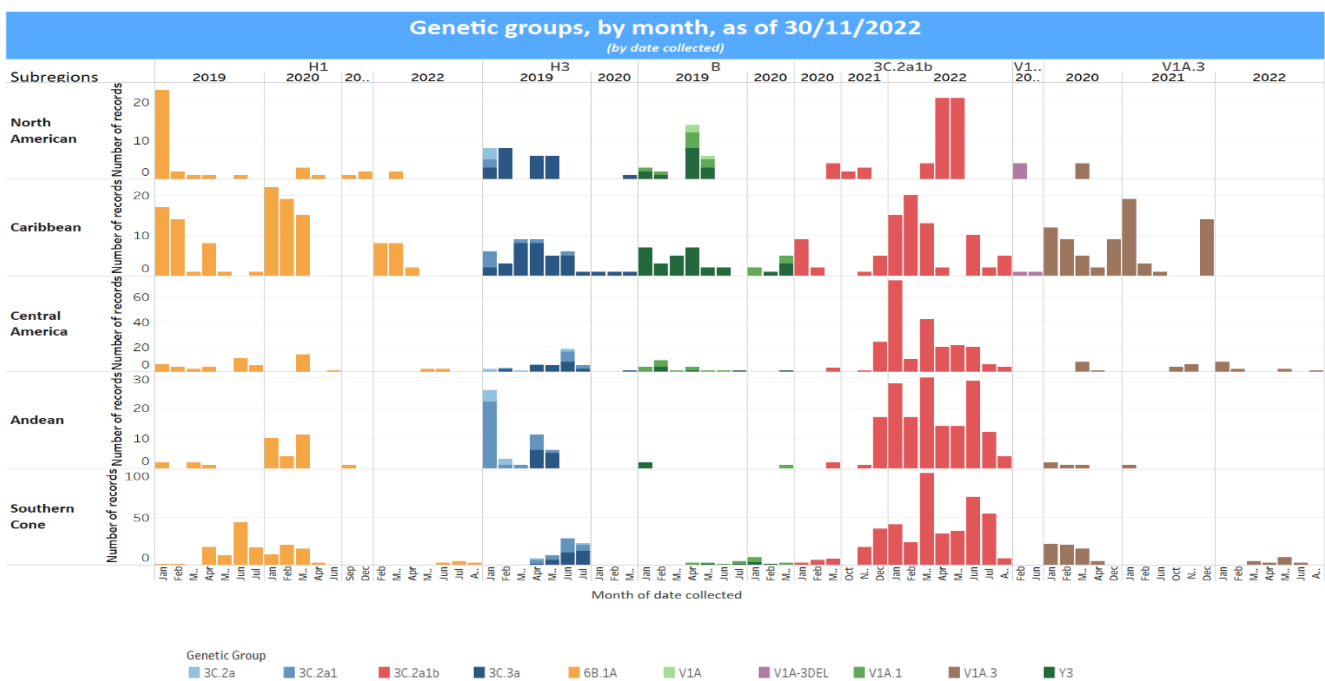
Source: GISAID

Weekly / Semanal

11

Influenza virus genetic characterization by subregion, 2019 - 2022

Caracterización genética de los virus influenza por subregión, 2019 – 2022



SARinet plus
Severe Acute Respiratory Infections Network



WEEKLY AND CUMULATIVE NUMBERS OF INFLUENZA AND OTHER RESPIRATORY VIRUSES, BY COUNTRY AND EW, 2023^{2,3}

NÚMEROS SEMANALES Y ACUMULADOS DE INFLUENZA Y OTROS VIRUS RESPIRATORIOS, POR PAÍS Y SE, 2023^{4,5}

Weekly / Semanal

12

EW 12, 2023 / SE 12 de 2023

		N samples flu & ORV/...	A(H3N2)	A(H1N1) pd.	FLUANoSu	Influenza A unable to s...	B Victoria	B Yamagata	B lineage no determinado	Influenza (+) %	Adenovirus	Parainfluen...	VRS	% RSV/VRS (+)	Coronavirus	Metapneum...	Rhinovirus*	% All Positive Sa...	N. samples/ muestas S...	SARS-CoV-2 (+)	SARS-CoV-2 (+) %
North America / América del Nte	Canada	84,467	3	22	103	0	39	0	300	0.5%	214	243	405	0%	316	452	717	3.3%	48,292	7,858	16.3%
	Mexico	271	3	2	0	0	0	0	12	20.7%	6	7	20	7%	4	0	13	39.5%	35,904	14,334	39.9%
USA		72,434	20	14	395	6	0	255	1.0%				206	0%				1.2%	1,636,300	154,244	9.4%
Caribbean / Caribe	Belize	68	0	2	0	0	7	0	0	13.2%								13.2%	74	5	6.8%
	Dominican Republic	30	0	3	0	0	0	0	0	10.0%	0	0	0	0%	0	0	0	10.0%	27	0	0.0%
	Haiti	26	0	0	0	0	0	0	0	0.0%	0	0	0	0%	0	0	0	0.0%	94	1	1.1%
	Jamaica	10	0	0	0	0	1	0	0	10.0%	0	0	0	0%	0	0	0	10.0%	33	2	6.1%
	Saint Lucia	0	0	0	0	0	0	0	0	0.0%	0	0	0	0%	0	0	0	0.0%	6	6	100.0%
	Suriname	0	0	0	0	0	0	0	0	0.0%	0	0	0	0%	0	0	0	0.0%	0	0	0.0%
Central America / América Central	Costa Rica	37	0	0	0	0	0	0	0	0.0%	7	9	0	0%	1	0	20	100.0%	314	83	26.4%
	El Salvador	13	1	0	0	0	3	0	0	30.8%	1	0	0	0%	0	0	0	38.5%	8	0	0.0%
	Guatemala	46	7	4	1	1	6	0	0	41.3%	5	6	3	7%	1	0	8	91.3%	850	2	0.2%
	Honduras	11	0	0	0	0	0	2	2	18.2%	0	0	0	0%	0	0	0	18.2%	0	0	0.0%
	Nicaragua	95	0	0	0	0	0	0	3	3.2%	0	1	0	0%	0	0	0	4.2%	696	5	0.7%
	Panama	30	0	0	0	0	1	0	0	3.3%	1	1	0	0%	1	0	3	23.3%	80	6	7.5%
Andean / Zona Andina	Colombia	2,423	0	42	0	0	3	0	0	1.9%	40	59	193	8%	9	24	111	19.9%	3,312	137	4.1%
	Ecuador	118	0	3	0	0	0	0	4	5.9%	0	0	0	0%	0	0	0	5.9%	272	32	11.8%
	Peru	2,731	5	56	0	0	1	0	0	2.3%				11	0	0	6	2.9%	10,658	693	6.5%
	Venezuela	10	0	6	0	0	0	0	0	60.0%	0	0	0	0%	0	0	0	60.0%	0	0	0.0%
Brazil & Southern Cone / Brasil y Cono Sur	Argentina	24	0	0	0	0	0	0	0	0.0%				0%				0.0%	100	4	4.0%
	Brazil	2,243	0	26	0	0	9	0	277	12.9%	1	1	50	2%	2	1	4	15.3%	3,489	321	10.2%
	Chile	2,234	0	25	39	0	16	0	7	3.9%	59	44	23		16			10.3%	156	156	100.0%
	Chile_IRAG	196	0	1	10	0	0	0	7	9.2%	11	6	3	2%	0	2	52	50.5%	113	24	21.2%
	Paraguay	11	0	0	0	0	0	0	0	0.0%	0	0	0	0%	0	0	0	0.0%	14	1	7.1%
	Uruguay	42	1	0	0	0	0	0	0	2.4%	0	0	0	0%	0	0	0	2.4%	42	1	2.4%
Grand Total		167,570	40	206	548	1	92	0	867	1.0%	345	377	914	1%	334	495	934	3.1%	1,740,834	177,915	10.2%

These are the raw numbers provided in the country's FluNet update (Not the smoothed averages)
Estos son los números crudos proporcionados en la actualización FluNet del país (no los promedios suavizados)

*Please note blank cells indicate N/A.
*Por favor notar que las células en blanco indican N/A.

EW 9 - EW 12, 2023 / SE 9 - SE 12 de 2023

		Samples processed / muestra...	Influenza (H3N2)	Influenza A(H1N1) pdm09*	Influenza A subtyping not perfor...	Influenza B Victoria*	Influenza B Yamagata*	Influenza B lineage undeterm...	Influenza (+) %	Adenovir...	Parainflue...	RSV/VRS*	% RSV/VRS (+)	Bocavirus*	Coronavir...	Metapne...	Rhinovirus*	% All Positive Samples (...)	N. samples/ muestas ...	SARS-CoV-2 (+)	SARS-CoV-2 (+) %
North America / América del Nte	Canada	353,540	34	99	411	0	0	976	0.4%	904	1,051	2,386	0.7%	0	1,099	1,741	2,924	3.3%	203,098	33,687	16.6%
	Mexico	1,279	32	13	0	113	0	53	16.7%	28	31	112	8.8%	14	29	4	72	39.2%	164,240	67,791	41.3%
USA		303,652	84	111	1,767	45	0	873	0.9%	0	0	2,133	0.7%	0	0	0	0	1.7%	6,846,414	735,108	10.7%
Caribbean / Caribe	Belize	226	0	14	0	20	0	0	15.0%	0	0	0	0%	0	0	0	0	15.0%	2,834	38	1.3%
	Dominican Republic	153	0	16	0	0	0	0	10.5%	6	0	0	0%	0	0	0	0	14.4%	131	1	0.8%
	Haiti	242	0	3	0	0	0	0	1.2%	0	0	0	0%	0	0	0	0	1.2%	501	5	1.0%
	Jamaica	180	0	1	0	6	0	12	10.6%	2	0	10	5.6%	0	0	0	0	17.2%	168	15	9.0%
	Suriname	6	0	0	0	6	0	0	100.0%	0	0	0	0%	0	0	0	0	100.0%	15	0	0.0%
Central America / América Central	Costa Rica	383	0	6	0	0	0	0	1.6%	52	53	0	0%	0	13	1	258	100.0%	31,591	5,952	18.8%
	El Salvador	78	3	0	0	10	0	0	16.7%	5	3	0	0%	0	0	0	0	26.9%	56	0	0.0%
	Guatemala	231	27	12	1	22	0	7	30.3%	9	15	24	10.4%	2	9	1	62	88.7%	3,635	22	0.6%
	Honduras	97	0	0	0	2	0	10	12.4%	0	0	0	0%	0	0	0	0	12.4%	22	0	0.0%
	Nicaragua	460	0	0	0	2	0	4	1.3%	0	1	0	0%	0	0	0	0	1.5%	2,964	31	1.0%
	Panama	208	0	1	0	9	0	0	4.8%	6	3	2	1.0%	6	3	3	33	33.7%	492	20	4.1%
Andean / Zona Andina	Bolivia	136	2	5	0	42	0	0	36.0%	0	0	2	1.5%	0	0	0	0	37.5%	3,057	2,968	97.1%
	Colombia	8,445	28	107	9	76	0	0	2.7%	200	162	459	5.4%	13	47	88	382	18.8%	17,673	638	3.6%
	Ecuador	780	2	19	0	25	4	30	10.5%	1	0	4	0.5%	0	0	0	0	11.2%	1,410	145	10.3%
	Peru	6,329	26	133	0	20	0	0	2.8%	0	0	24	0.4%	0	0	0	13	3.4%	41,459	2,021	4.9%
	Venezuela	358	0	66	0	0	0	0	18.4%	0	0	2	0.6%	0	0	1	0	19.3%	0	0	0.0%
Brazil & Southern Cone / Brasil y Cono Sur	Argentina	4,066	0	0	14	0	0	8	0.5%	78	14	156	3.8%	0	0	0	0	6.6%	32,498	2,160	6.6%
	Brazil	7,546	0	76	0	55	0	742	11.6%	7	6	276	3.7%	1	3	5	15	15.7%	15,443	1,888	12.2%
	Chile	6,602	4	66	59	63	0	20	3.2%	252	102	38	0.6%	0	0	31	0	9.6%	581	581	100.0%
	Chile_IRAG	672	0	6	15	2	0	18	6.3%	25	12	10	1.5%	7	0	4	230	55.1%	508	86	16.9%
	Paraguay	119	0	0	0	0	0	3	2.5%	0	0	2	1.7%	0	0	0	0	4.2%	71	4	5.6%
	Paraguay_IRAG	182	0	1	0	0	0	4	2.7%	0	1	10	5.5%	0	0	0	0	8.8%	501	15	3.0%
Uruguay	256	2	0	0	1	0	0	1.2%	0	0	0	0%	0	0	0	0	1.2%	256	9	3.5%	
Grand Total		696,206	244	755	2,276	519	4	2,760	0.9%	1,573	1,454	5,650	0.8%	43	1,203	1,879	3,989	3.2%	7,369,616	853,165	11.6%

Total Influenza B, EW 9 - 12, 2023 / SE 9 - 12 de 2023

		Influenza B	B Victoria	B Yamagata	B lineage undetermined/lineage indeterminado	B Victoria	B Yamagata
North America / América del Norte		2,060	158	0	1,902	100%	0%
Caribbean / Caribe		50	38	0	12	100%	0%
Central America / América Central		66	45	0	21	100%	0%
Andean / Zona Andina		197	163	4	30	98%	2%
Brazil & Southern Cone / Brasil y Cono Sur		917	122	0	795	100%	0%
Grand Total		3,290	526	4	2,760	99%	1%

² The detection of respiratory viruses other than influenza depends on the diagnostic capacity of each country and monitoring system. The absence of report of other respiratory viruses does not indicate the absence of their circulation.

³ Data reported by the Ministries of Health of the countries, from sentinel and intensified surveillance for acute respiratory disease.

⁴ La detección de otros virus respiratorios diferentes a influenza depende de la capacidad diagnóstica de cada país y del sistema de vigilancia establecido. El que no se reporten otros virus respiratorios, no significa, ni indica la ausencia de circulación viral.

⁵ Datos reportados por los Ministerios de Salud de los países, provenientes de la vigilancia centinela e intensificada de enfermedad respiratoria aguda.





**EPIDEMIOLOGIC AND VIROLOGIC UPDATE OF INFLUENZA
AND OTHER RESPIRATORY VIRUSES BY COUNTRY
ACTUALIZACIÓN EPIDEMIOLÓGICA Y VIROLÓGICA DE LA
INFLUENZA Y OTROS VIRUS RESPIRATORIOS POR PAÍS**





SUBREGION
NORTH AMERICA / AMÉRICA DEL NORTE

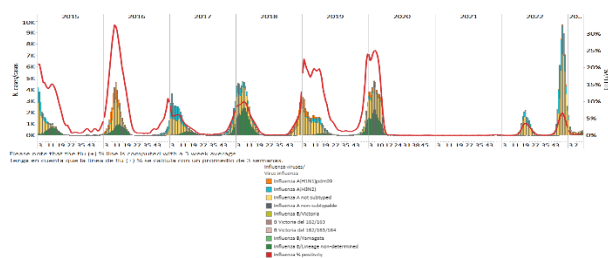




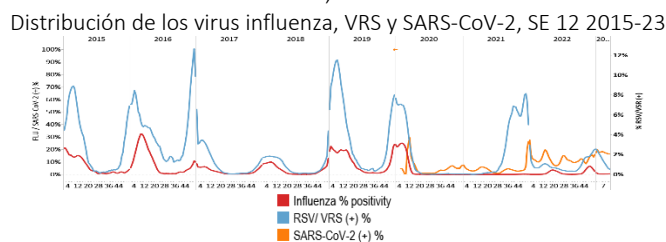
Canada / Canadá

During EW 12 2023, Influenza A and B viruses circulated, with a larger proportion of influenza B (lineage undetermined) viruses; influenza A(H1N1) and A(H3N2) were co-circulated; influenza activity remains low at interseasonal levels. RSV activity continues to decrease within expected levels for this time of year (Graphs 1, 2, and 3). Rhinovirus, parainfluenza, metapneumovirus, and adenovirus detections continued to be recorded, with activity near expected levels typical of this time of year (Graph 4). During EW 11, the ILI percentage visits (0.8%) to healthcare professionals were within levels characteristic of this time of year (Graph 5). The highest cumulative influenza-associated hospitalizations rate was 133/100 000 population among adults 65 years and older and 124/100 000 among younger than five years. No influenza-associated pediatric deaths have been reported since EW 50, 2022. In EW 12, the COVID-19 weekly rate remained highest among individuals aged 20-59; 54.8% were female, and 33.9% were between 20 and 39 (Graph 6). / Durante la SE 12 de 2023, circularon los virus influenza A y B, con mayor proporción de virus influenza B (linaje indeterminado); circularon concurrentemente los virus influenza A(H1N1) y A(H3N2); la actividad de la influenza permanece baja en los niveles interestacionales. La actividad del VRS continúa disminuyendo dentro de los niveles esperados para esta época del año (Gráficos 1, 2 y 3). Continuó el registro de detecciones de rinovirus, parainfluenza, metapneumovirus y adenovirus, con una actividad cercana a los niveles esperados típicos de esta época del año (Gráfico 4). Durante la SE 11, el porcentaje de consultas por ETI (0,8 %) a profesionales de salud estuvo dentro de niveles característicos de esta época del año (Gráfico 5). La tasa acumulada más alta de hospitalizaciones asociadas a la influenza fue de 133/100 000 habitantes en adultos de 65 años o más y 124/100 000 en los menores de cinco años. No se han notificado muertes pediátricas asociadas a influenza desde la SE 50 de 2022. En la SE 12, la tasa semanal de COVID-19 permaneció más alta en las personas de 20 a 59 años; el 54,8 % eran mujeres y el 33,9 % tenían entre 20 y 39 años (Gráfico 6).

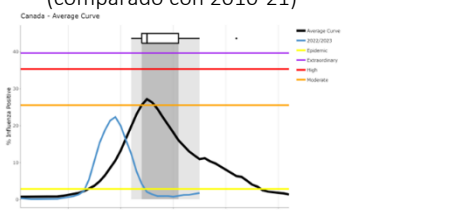
Graph 1. Canada: Influenza virus distribution, EW 12, 2015-23
Distribución de virus de influenza, SE 12, 2015-23



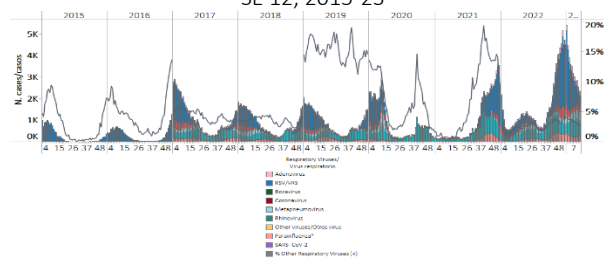
Graph 2. Canada: Influenza, RSV, and SARS-CoV-2 distribution
EW 12, 2015-23



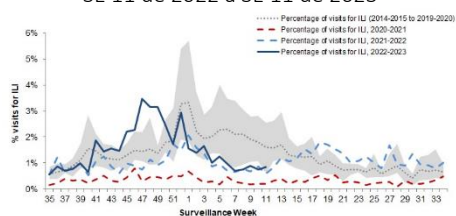
Graph 3. Canada: Percent positivity for influenza, EW 12, 2023
(compared to 2010-21)
Porcentaje de positividad de influenza, SE 12 de 2023
(comparado con 2010-21)



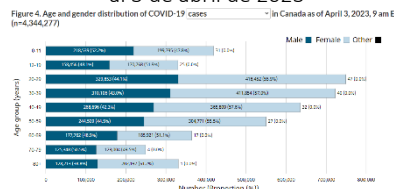
Graph 4. Canada: RSV, SARS-CoV-2, and other respiratory viruses
distribution, EW 12 2015-23
Distribución del VRS, SARS-CoV-2 y otros virus respiratorios,
SE 12, 2015-23



Graph 5. Canada: Percentage of ILI visits by sentinel sites,
EW 11, 2022 – EW 11, 2023
Porcentaje de casos de ETI por sitio centinela,
SE 11 de 2022 a SE 11 de 2023



Graph 6. Canada: Age and gender distribution of COVID-19 cases
as of 3 April 2023
Distribución por edad y sexo de los casos de la COVID-19,
al 3 de abril de 2023

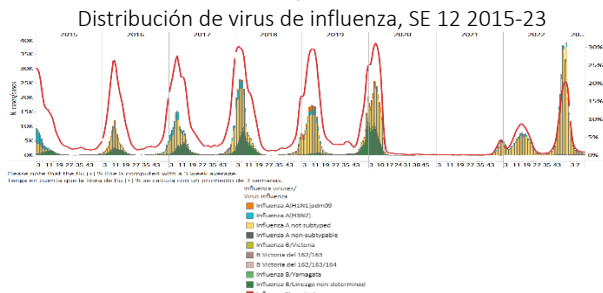




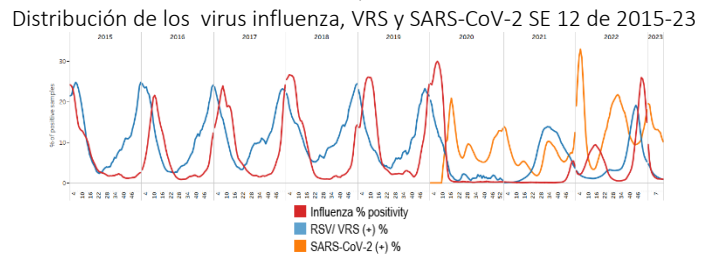
United States / Estados Unidos

As of EW 12 2023, influenza A viruses predominated; A(H3N2) was more frequently detected among subtyped samples, followed by A(H1N1)pdm09 and influenza B/Victoria (where lineage was determined). Seasonal influenza activity was low (Graphs 1, 2, and 3). Similarly, respiratory syncytial virus activity remained low (Graph 2). Influenza-like illness (ILI) remained stable, with 2.3% of outpatient ILI visits below the national baseline for this time of year (Graph 4). In EW 12, most jurisdictions reported low or minimal ILI activity, three experienced moderate activity, and two had high activity (Graph 5). According to the FluSurv-NET system, the overall cumulative hospitalization rate was 61.1/100 000 population, similar to the end-of-season hospitalization rates for four seasons (2014-15, 2016-17, 2018-19, and 2019-20). Laboratory-confirmed COVID-19-associated hospitalizations have decreased, with a - 11.9% percent change from EW 11 2023 (Graph 6). During EW 12, 7.9% of the deaths were due to pneumonia, influenza, and COVID-19 (PIC). This percentage remained stable compared to week 11, which is above the epidemic threshold of 7.1% for this week. / En la SE 12 de 2023 predominaron los virus influenza A; A(H3N2) se detectó con mayor frecuencia entre las muestras con subtipo determinado, seguido de A(H1N1)pdm09 e influenza B/Victoria (en muestras con linaje caracterizado). La actividad de la influenza estacional estuvo baja (Gráficos 1, 2 y 3). Asimismo, la actividad del virus respiratorio sincitial se mantuvo baja (Gráfico 2). La enfermedad tipo influenza (ETI) se mantuvo estable, con un 2,3 % de visitas ambulatorias por ETI por debajo de la línea de base nacional para esta época del año (Gráfico 4). En la SE 12 la mayoría de las jurisdicciones reportaron actividad mínima o baja de ETI, tres experimentaron actividad moderada y dos tuvieron actividad alta (Gráfico 5). Según el sistema FluSurv-NET, la tasa de hospitalización acumulada general fue de 61,1/100 000 habitantes, similar a las tasas de hospitalización al final de la temporada durante cuatro temporadas (2014-15, 2016-17, 2018-19 y 2019-20). Las hospitalizaciones asociadas a la COVID-19 confirmadas por laboratorio han disminuido, con un cambio porcentual de -11,9 % con respecto a la SE 11 de 2023 (Gráfico 6). Durante la SE 12, el 7,9 % de las muertes se debieron a neumonía, influenza y la COVID-19 (PIC). Este porcentaje se mantuvo estable con respecto a la semana 11, por encima del umbral epidémico del 7,1 % para esta semana.

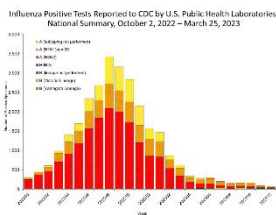
Graph 1. USA: Influenza virus distribution, EW 12, 2015-23



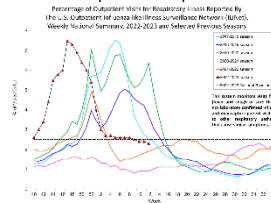
Graph 2. USA: Influenza, RSV, and SARS-CoV-2 distribution EW 12, 2015-23



Graph 3. USA: Influenza positive tests, EW 12, 2023



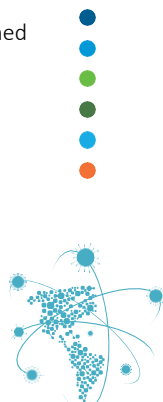
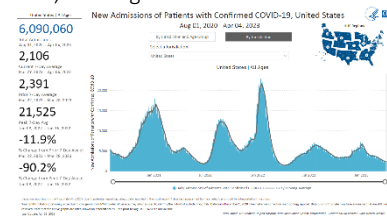
Graph 4. USA: Percentage of visits for ILI, EW 12 2023 compared to selected previous seasons



Graph 5. USA: ILI activity level indicator by state, EW 12, 2021-2023



Graph 6. USA: New hospital admissions of patients with confirmed COVID-19, August 1, 2020 – April 4, 2023

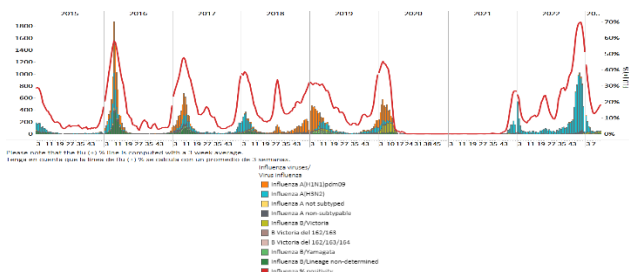




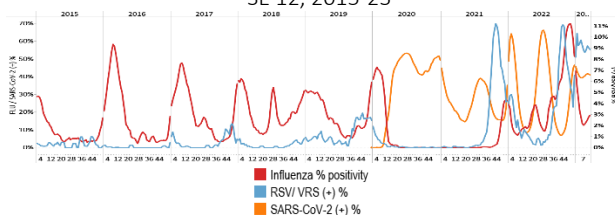
Mexico / México

In EW 12 2023, influenza B/Victoria detections predominated, followed by A(H3N2) and A(H1N1)pdm09. Influenza activity remained stable compared to previous weeks above expected levels at low-intensity levels for this time of year (Graphs 1 and 3). Respiratory syncytial virus detections were recorded; RSV activity stays elevated. SARS-CoV-2 percent positivity (39.9%) continued unchanged compared to the previous week's percentage (Graphs 2 and 4). SARI cases were slightly below the average of prior seasons at low-intensity levels (Graph 5). Similarly, Influenza-like illness (ILI) cases were above the mean of previous seasons at low-intensity levels (Graph 6). The 25-29 age group had the highest SARI/ILI incidence cumulative rate; the SARI-ILI ratio was 0.1:1; most cases resided in Mexico City, Nuevo Leon, and Queretaro. / En la SE 12 de 2023 predominaron las detecciones de influenza B/Victoria, seguidas de A(H3N2) y A(H1N1)pdm09. La actividad de la influenza se mantuvo estable en comparación con semanas anteriores por encima de los niveles esperados en niveles de baja intensidad para esta época del año (Gráficos 1 y 3). Se registraron detecciones de virus respiratorio sincitial; la actividad del VRS se mantiene elevada. El porcentaje de positividad de SARS-CoV-2 (39,9 %) continuó sin cambios en comparación con el porcentaje de la semana previas (Gráficos 2 y 4). El número de casos de IRAG estuvo ligeramente por debajo del promedio de temporadas anteriores en niveles de baja intensidad (Gráfico 5). De igual forma, el número de casos de enfermedad tipo influenza (ETI) estuvo por encima de la media de temporadas previas en niveles de baja intensidad (Gráfico 6). El grupo de edad de 25 a 29 años presentó la mayor tasa acumulada de incidencia de IRAG/ETI; la razón IRAG-ETI fue de 0,1:1; la mayoría de los casos residían en la Ciudad de México, Nuevo León y Querétaro.

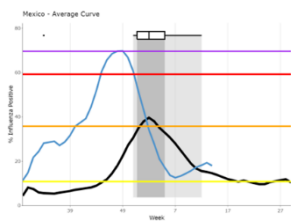
Graph 1. Mexico: Influenza virus distribution, EW 12, 2015-23
Distribución del virus influenza, SE 12, 2015-23



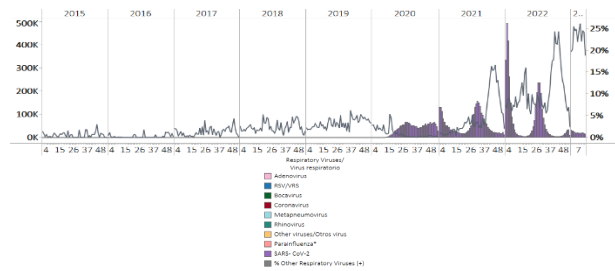
Graph 2. Mexico: Influenza, RSV, and SARS-CoV-2 distribution EW 12, 2015-23
Distribución de los virus influenza, VRS y SARS-CoV-2, SE 12, 2015-23



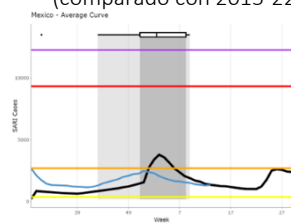
Graph 3. Mexico: Percent positivity for influenza, EW 12, 2023 (compared to 2010-22)
Porcentaje de positividad de influenza, SE 12 de 2023 (comparado con 2010-22)



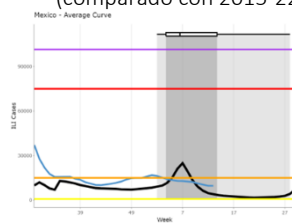
Graph 4. Mexico: RSV, SARS-CoV-2, and other respiratory viruses distribution, EW 12 2015-23
Distribución del VRS, SARS-CoV-2 y otros virus respiratorios, SE 12, 2015-23



Graph 5. Mexico: Number of SARI cases, EW 12, 2023 (compared to 2015-22)
Número de casos de IRAG, SE 12 de 2023 (comparado con 2015-22)



Graph 6. Mexico: Number of ILI cases, EW 12, 2023 (compared to 2015-22)
Número de casos de ETI, SE 12 de 2023 (comparado con 2015-22)





**SUBREGION
CARIBBEAN / CARIBE**



© OpenStreetMap



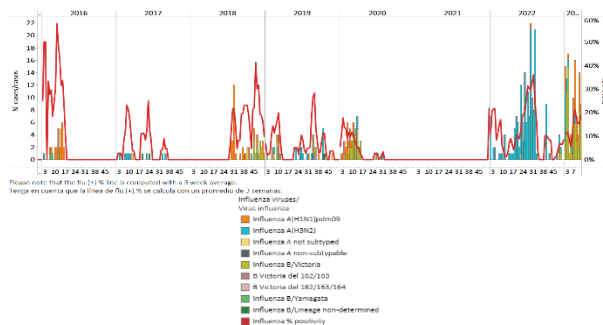
SARInet plus
Severe Acute Respiratory Infections Network



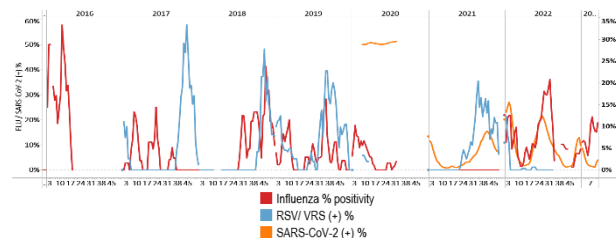
Belize / Belice

In EW 12 2023, influenza B/Victoria viruses were detected, with co-circulation of influenza A(H1N1)pdm09 virus (Graph 1). Influenza activity increased to moderate-intensity levels (Graph 3). Nationally, Belize City has reported the most influenza cases, followed by Cayo District. Of 74 samples analyzed for SARS-CoV-2, 6.8% were positive (Graphs 2 and 4). / En la SE 12 de 2023 se detectaron virus influenza B/Victoria con la circulación concurrente del virus influenza A(H1N1)pdm09 (Gráfico 1). La actividad de la influenza aumentó a niveles de intensidad moderada (Gráfico 3). A nivel nacional la Ciudad de Belice ha notificado el mayor número de casos de influenza seguida del distrito de Cayo. De 74 muestras analizadas para SARS-CoV-2, el 6,8 % resultaron positivas (Gráficos 2 y 4).

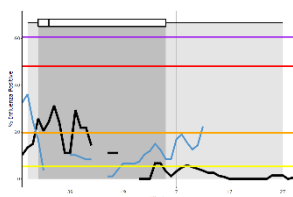
Graph 1. Belize. Influenza virus distribution EW 12, 2016-23
Distribución de virus influenza SE 12, 2016-23



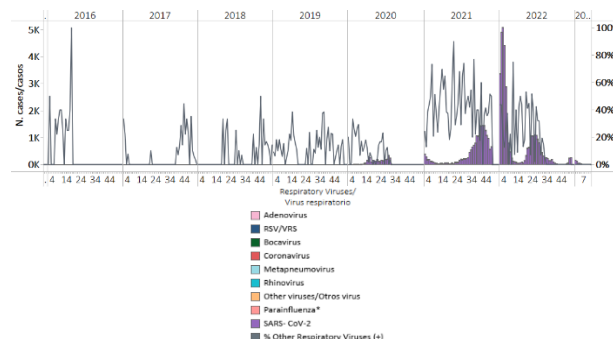
Graph 2. Belize: Influenza, RSV, and SARS-CoV-2 distribution, EW 12, 2016-23
Distribución de virus influenza, VRS y SARS-CoV-2, SE 12, 2016-23



Graph 3. Belize: Percent positivity for influenza, EW 12, 2023 (compared to 2016-22)
Porcentaje de positividad de influenza, SE 12 de 2023 (comparado con 2016-22)



Graph 4. Belize: RSV, SARS-CoV-2, and other respiratory viruses distribution, EW 12, 2016-23
Distribución de VRS, SARS-CoV-2 y otros virus respiratorios, SE 12, 2016-23

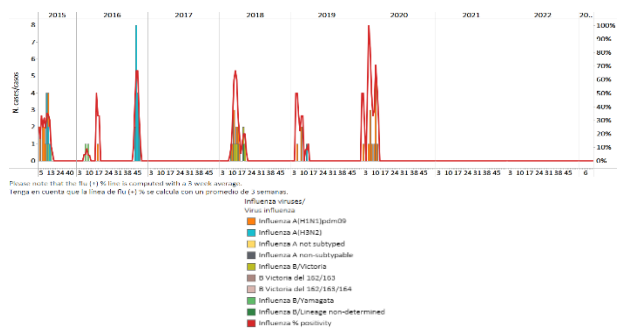




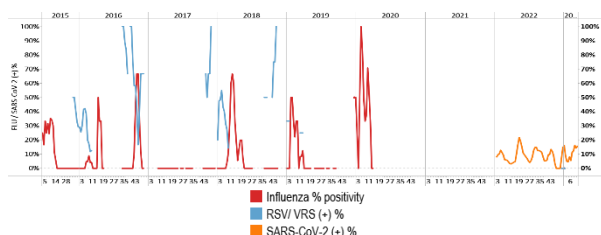
Dominica

During EW 11 2023, no samples were analyzed for influenza or other respiratory viruses (Graphs 1, 2, and 3). In addition, the number of SARI cases dropped to baseline levels (Graph 4). / Durante la SE 11 de 2023, no se analizaron muestras para influenza ni para otros virus respiratorios (Gráficos 1, 2 y 3). Además, el número de casos de IRAG disminuyó ubicándose en niveles basales (Gráfico 4).

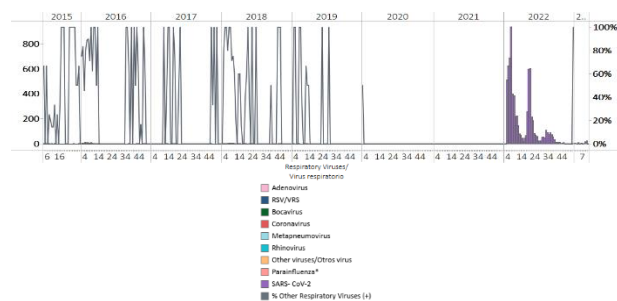
Graph 1. Dominica. Influenza virus distribution, EW 11, 2015-22
Distribución de virus influenza, SE 11, 2015-22



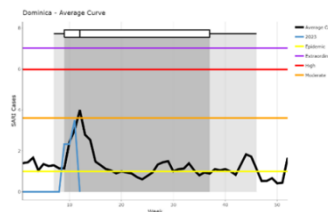
Graph 2. Dominica: Influenza, RSV, and SARS-CoV-2 distribution, EW 11, 2015-22
Distribución de virus influenza, VRS y SARS-CoV-2, SE 11, 2015-22



Graph 3. Dominica: RSV, SARS-CoV-2, and other respiratory viruses distribution, EW 11, 2015-22
Distribución de VRS, SARS-CoV-2 y otros virus respiratorios, SE 11, 2015-22



Graph 4. Dominica: Number of SARI cases, EW 11, 2022 (compared to 2010-21)
Número de casos de IRAG, SE 11 de 2022 (comparado con 2010-21)

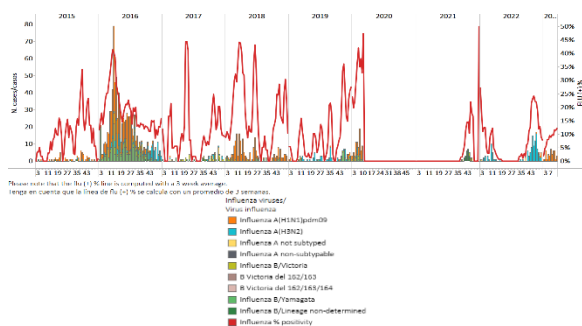




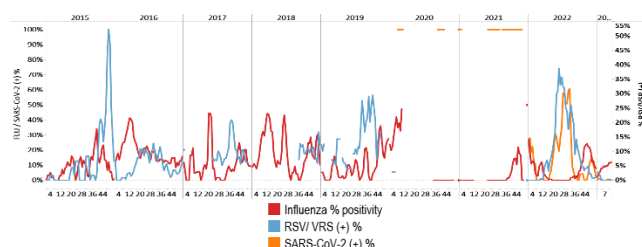
Dominican Republic / República Dominicana

During EW 12 2023, influenza A(H1N1)pdm09 detections were reported. Influenza activity increased above the epidemic threshold at low-intensity levels, although below the average of previous years (Graphs 1, 2, and 3). No respiratory syncytial virus detections were registered (Graphs 2 and 4). Twenty-seven samples were analyzed for SARS-CoV-2, and none tested positive (Graph 4). SARI cases/100 hospitalizations decreased to baseline levels (Graph 5). / Durante la SE 12 de 2023, se reportaron detecciones de influenza A(H1N1)pdm09. La actividad de la influenza aumentó por encima del umbral epidémico ubicándose en niveles de baja intensidad, aunque por debajo del promedio de años previos (Gráficos 1, 2 y 3). No se registraron detecciones de virus respiratorio sincitial (Gráficos 2 y 4). Se analizaron 27 muestras para SARS-CoV-2 y ninguna resultó positiva (Gráfico 4). El número de casos de IRAG por cada 100 hospitalizaciones disminuyó a niveles basales (Gráfico 5).

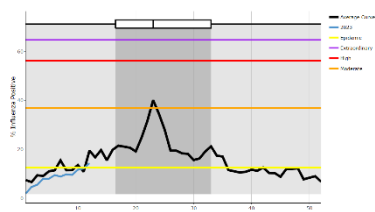
Graph 1. Dominican Republic: Influenza virus distribution, EW 12, 2015-23
Distribución del virus influenza, SE 12, 2015-23



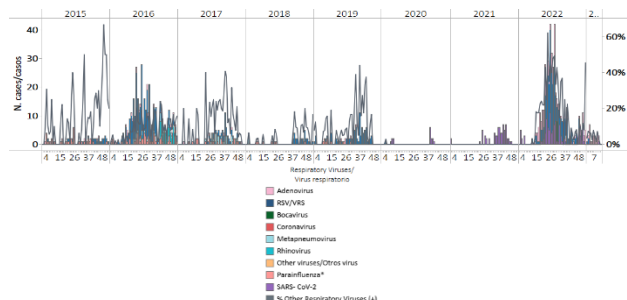
Graph 2. Dominican Republic: Influenza, RSV, and SARS-CoV-2 distribution, EW 12, 2015-23
Distribución de los virus influenza, VRS y SARS-CoV-2, SE 12, 2015-23



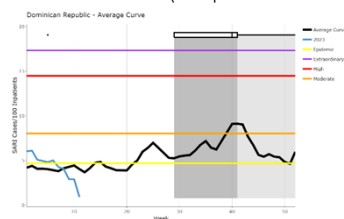
Graph 3. Dominican Republic: Percent positivity for influenza, EW 12, 2023 (compared to 2010-22)
Porcentaje de positividad de influenza, SE 12 de 2023 (comparado con 2010-22)



Graph 4. Dominican Republic: RSV, SARS-CoV-2, and other respiratory viruses distribution, EW 12, 2015-23
Distribución de VRS, SARS-CoV-2 y otros virus respiratorios, SE 12, 2015-23



Graph 5. Dominican Republic: SARI cases/100 hospitalizations, EW 11, 2023 (compared to 2018-22)
Casos de IRAG por cada 100 hospitalizaciones, SE 11 de 2023 (comparado con 2018-22)

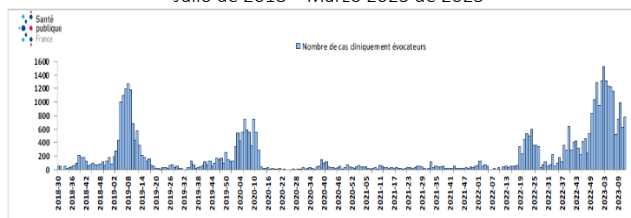




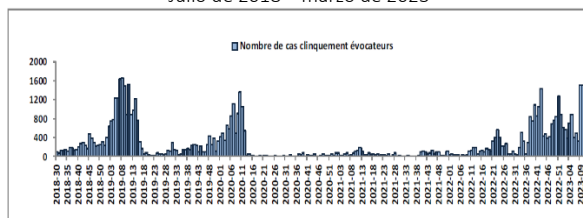
French Territories / Territorios franceses

Guadeloupe: In EW 12, ILI consultations increased compared to the previous week, remaining elevated compared to prior years (Graph 1). Influenza B was most frequently detected. Influenza percent positivity has decreased in the past three weeks. **Martinique:** During EW 12, ILI consultations remained increased for the second week compared to the previously reported (Graph 2). Influenza A (subtyping not performed) predominated; percent positivity decreased compared to the previous week. **Saint-Martin:** As of EW 12, influenza-like illness consultations remained elevated, although at lower levels than the peak in EW 3 (Graph 3). **Saint-Barthelemy:** A downward trend in consultations for influenza-like illness was observed, with minimal ILI cases recorded (Graph 4). / **Guadalupa:** en la SE 12, las consultas por ETI aumentaron con respecto a la semana previa, manteniéndose elevadas con respecto a años previos (Gráfico 1). Los virus de la influenza B fueron más frecuentemente detectados. El porcentaje de positividad de influenza ha disminuido en las últimas tres semanas. **Martinica:** durante la SE 12, el número de consultas por ETI se mantuvo incrementado por segunda semana en comparación con lo reportado previamente (Gráfico 2). Predominaron los virus de la influenza A (subtipo indeterminado); el porcentaje de positividad disminuyó en comparación con la semana previa. **San Martín:** en la SE 12, las consultas por enfermedad tipo influenza se mantuvieron elevadas, aunque en niveles inferiores al pico de la SE 3 (Gráfico 3). **San Bartolomé:** se observó una tendencia a la baja en las consultas por enfermedad tipo influenza, con un registro mínimo de casos de ETI (Gráfico 4).

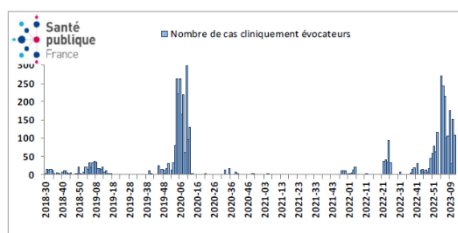
Graph 1. Guadeloupe: Estimated number of ILI consultations, July 2018 - March 2023
Número estimado de consultas por ETI, Julio de 2018 – Marzo 2023 de 2023



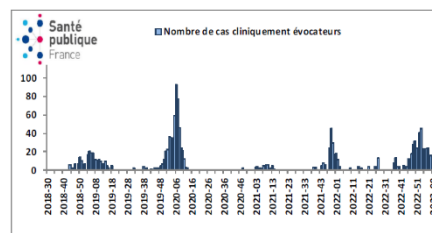
Graph 2. Martinique: Estimated number of ILI consultations, July 2018 – March 2023
Número estimado de consultas por ETI, Julio de 2018 – marzo de 2023



Graph 3. Saint-Martin: Estimated number of ILI consultations, July 2018 – March 2023
Número estimado de consultas por ETI, Julio de 2018 – Marzo de 2023



Graph 4. Saint-Barthelemy: Estimated number of ILI consultations, July 2018 – March 2023
Número estimado de consultas por ETI, Julio de 2018 – Marzo de 2023

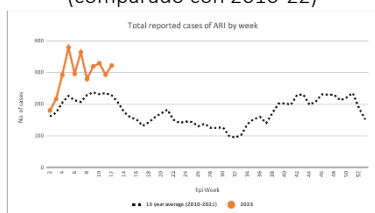




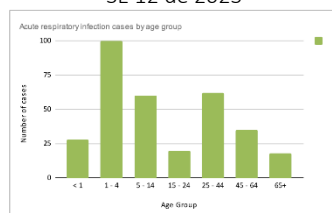
Grenada / Granada

During 2023, the number of ARI cases fluctuated, remaining above the average of the previous 13 years (2010-22) (Graph 1). In EW 12, 323 ARI cases were registered, and 52.3% were female. Most cases were among those 1-4 years (Graph 2) and resided in St. George. / Durante 2023, el número de casos de IRA fluctuó, manteniéndose por encima del promedio de los 13 años previos (2010-22) (Gráfico 1). En la SE 12 se registraron 323 casos de IRA, siendo el 52,3 % del sexo femenino. La mayoría de los casos tenían 1-4 años (Gráfico 2) y residían en St. George.

Graph 1. Grenada: Total number of ARI cases, EW 12 2023 (compared to 2010-22)
Número total de casos de IRA, SE 12 de 2023 (comparado con 2010-22)



Graph 2. Grenada: Total number of ARI cases by age group, EW 12 2023
Número total de casos de IRA por grupo de edad, SE 12 de 2023



Source / fuente: Weekly Communicable Disease Surveillance Report 2023. Epidemiological week #12. Ministry of Health, Wellness, and Religious Affairs Grenada
Informe Semanal de Vigilancia de Enfermedades Transmisibles 2023. Semana epidemiológica #12. Ministerio de Salud, Bienestar y Asuntos Religiosos Granada

1

2

3

4

5

6

7

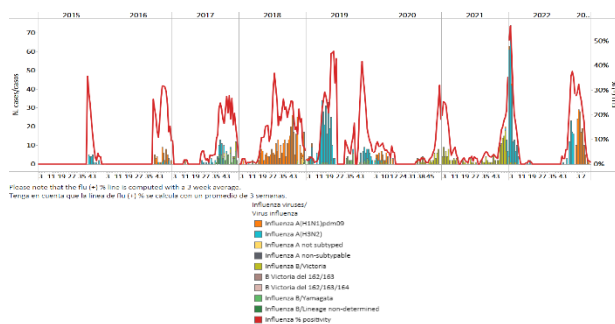




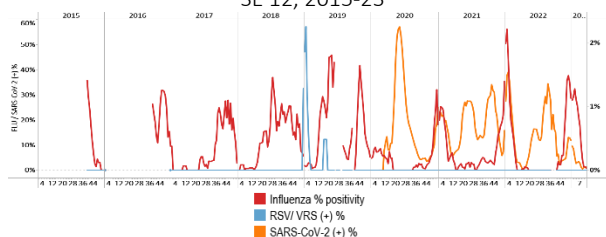
Haiti / Haití

During EW 12 2023, no influenza detections were recorded, with the influenza A(H1N1)pdm09 virus circulating in previous weeks. Influenza activity fell in the past weeks to baseline levels (Graphs 1, 2, and 3). Among 94 specimens tested for SARS-CoV-2, one tested positive (Graphs 2 and 4). Severe acute respiratory infections decreased and were at the epidemic threshold (Graph 5). / Durante la SE 12 de 2023 no se registraron detecciones de influenza, con circulación de influenza A(H1N1)pdm09 en semanas previas. La actividad de la influenza cayó en las últimas semanas a los niveles basales (Gráficos 1, 2 y 3). De 94 muestras analizadas para SARS-CoV-2, una resultó positiva (Gráficos 2 y 4). El número de infecciones respiratorias agudas graves disminuyó y se ubicó en el umbral epidémico (Gráfico 5).

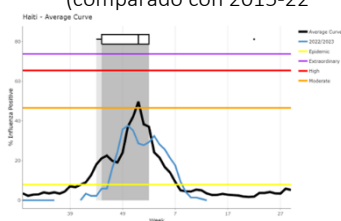
Graph 1. Haiti: Influenza virus distribution EW 12, 2015-23
Distribución de virus influenza SE 12, 2015-23



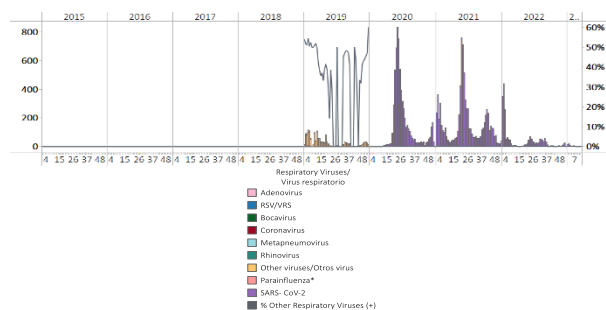
Graph 2. Haiti: Influenza, RSV, and SARS-CoV-2 distribution, EW 12, 2015-23
Distribución de los virus influenza, VRS y SARS-CoV-2, SE 12, 2015-23



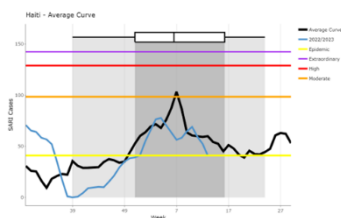
Graph 3. Haiti: Percent positivity for influenza, EW 12, 2023
(compared to 2015-22)
Porcentaje de positividad de influenza, SE 12 de 2023
(comparado con 2015-22)



Graph 4. Haiti: RSV, SARS-CoV-2, and other respiratory viruses distribution, EW 12, 2019-23
Distribución del VRS, SARS-CoV-2 y otros virus, SE 12, 2019-23



Graph 4. Haiti: Number of SARI cases, EW 12, 2023
(compared to 2017-22)
Número de casos de IRAG, SE 12 de 2023
(comparado con 2017-22)

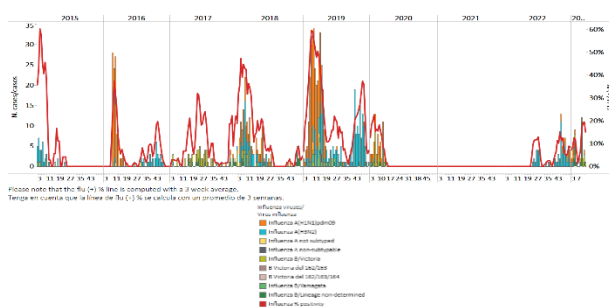




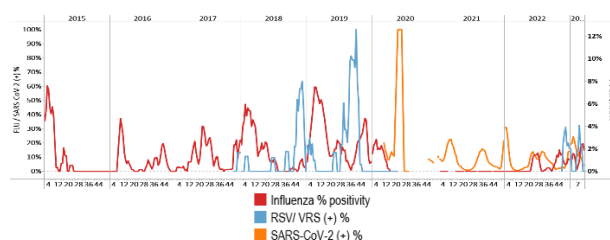
Jamaica

In EW 12 2023, a single influenza B/Victoria detection was reported; no RSV detections were recorded (Graphs 1 and 2). Influenza activity decreased to baseline levels (Graph 3). SARS-CoV-2 percent positivity (6.1%) remained stable compared to last week (Graph 2). Furthermore, SARI cases / 100 hospitalizations continued to increase with activity at low levels (Graph 4). In contrast, pneumonia cases remained stable at moderate levels (Graph 5). Acute respiratory infections activity increased above the average of previous years at moderate levels (Graph 6). / En la SE 12 de 2023, se notificó una sola detección de influenza B/Victoria; no se registraron detecciones de VRS (Gráficos 1 y 2). La actividad de la influenza disminuyó a los niveles basales (Gráfico 3). El porcentaje de positividad del SARS-CoV-2 (6,1 %) se mantuvo estable en comparación con la semana previa (Gráfico 2). Además, el número de casos de IRAG por cada 100 hospitalizaciones continuó aumentando y se ubicó en niveles de baja intensidad (Gráfico 4). En contraste, el número de casos de neumonía se mantuvo estable en niveles moderados (Gráfico 5). El número de infecciones respiratorias agudas aumentó por encima del promedio de años previos y se ubicó en niveles de actividad moderados (Gráfico 6).

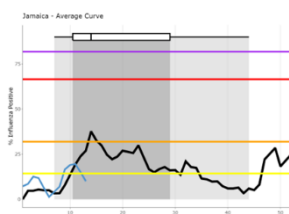
Graph 1. Jamaica: Influenza virus distribution
EW 12, 2015-23
Distribución de virus influenza SE 12, 2015-23



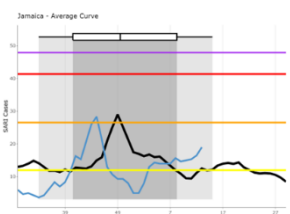
Graph 2. Jamaica: Influenza, RSV, and SARS-CoV-2 distribution,
EW 12, 2015-23
Distribución de los virus influenza, VRS y SARS-CoV-2, SE 12, 2015-23



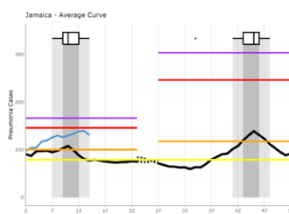
Graph 3. Jamaica: Percent positivity for influenza, EW 12, 2023
(compared to 2010-22)
Porcentaje de positividad de influenza, SE 12 de 2023
(comparado con 2010-22)



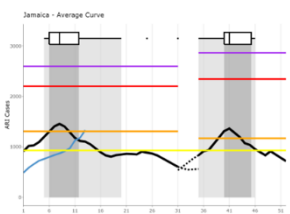
Graph 4. Jamaica: SARI cases/100 hospitalizations,
EW 12, 2023 (compared to 2011-22)
Casos de IRAG/100 hospitalizaciones, SE 12 de 2023
(comparado con 2011-22)



Graph 5. Jamaica: Number of pneumonia cases, EW 12, 2023
(compared to 2014-22)
Número de casos de neumonía, SE 12, 2023
(comparado con 2014-22)



Graph 6. Jamaica: Number of ARI cases, EW 12, 2023
(compared to 2011-22)
Número de casos de IRA, SE 12 de 2023
(comparado con 2011-22)



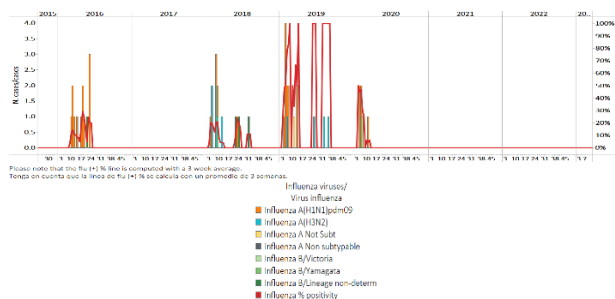


Saint Lucia / Santa Lucía

During EW 12 2023, no influenza or respiratory syncytial virus samples were reported. Of six samples analyzed for SARS-CoV-2, all (100%) tested positive, which increased compared to previous weeks (Graphs 1, 2, and 3). Influenza-like illness (ILI) cases among children under five remained stable above the seasonal threshold; most cases were recorded in Vieux Fort, Micoud, and Dennery. In contrast, ILI cases among persons five and older decreased to baseline levels (Graphs 4 and 5). Severe acute respiratory infection cases / 100 hospitalizations increased and were just below the moderate activity threshold (Graph 6). Two SARI cases were recorded and sampled, and none tested positive for the analyzed viruses; both were in the 1-14 age group. / Durante la SE 12 de 2023, no se reportaron muestras de influenza o virus respiratorio sincitial. De seis muestras analizadas para SARS-CoV-2, todas (100 %) resultaron positivas, un aumento en comparación con las semanas previas (Gráficos 1, 2 y 3). El número de casos de enfermedad tipo influenza (ETI) en niños menores de cinco años se mantuvo estable por encima del umbral estacional; la mayoría de los casos se registraron en Vieux Fort, Micoud y Dennery. En contraste, el número de casos de ETI en personas de cinco años o más disminuyó a los niveles basales (Gráficos 4 y 5). El número de casos de infección respiratoria aguda grave por cada 100 hospitalizaciones aumentó y se situaron justo por debajo del umbral de actividad moderada (Gráfico 6). Se registraron y se les tomó muestra a dos casos de IRAG y ninguno resultó positivo para los virus analizados; ambos en el grupo de edad de 1 a 14 años.

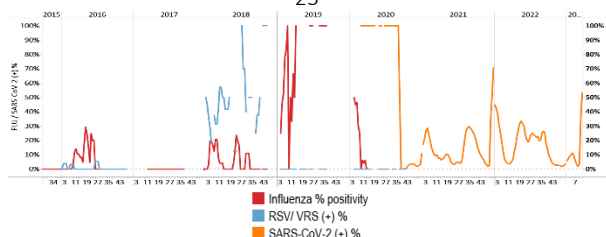
Graph 1. Saint Lucia: Influenza virus distribution, EW 12, 2015-23

Distribución del virus de la influenza, SE 12, 2015-23



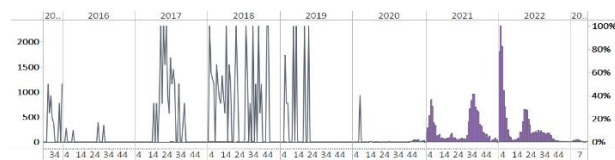
Graph 2. Saint Lucia: Influenza, RSV, and SARS-CoV-2 virus distribution, EW 12, 2015-23

Distribución de los virus influenza, VRS y SARS-CoV-2, SE 12, 2015-23



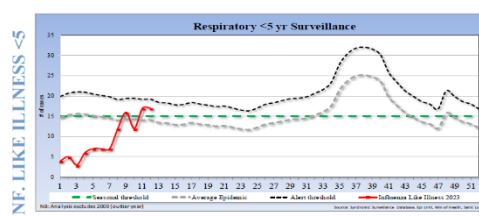
Graph 3. Saint Lucia: RSV, SARS-CoV-2, and other respiratory viruses distribution, EW 12, 2015-23

Distribución del VRS, SARS-CoV-2 y otros virus respiratorios, SE 12, 2015-23



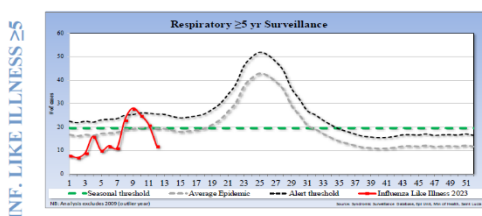
Graph 4. Saint Lucia: ILI case distribution among the < 5 years of age, EW 12, 2023 (compared to 2016-22)

Distribución de ETI entre los <5 años, SE 12, 2023 (comparado con 2016-22)



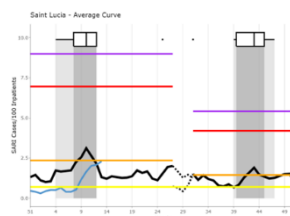
Graph 5. Saint Lucia: ILI case distribution among the ≥ 5 years of age, EW 12, 2023 (compared to 2016-22)

Número de casos de ETI en los ≥ 5 años, SE 12, 2023 (comparado con 2016-22)



Graph 6. Saint Lucia: SARI cases/100 hospitalizations, EW 12, 2023 (compared to 2016-22)

Casos de IRAG por cada 100 hospitalizaciones, SE 12 de 2023 (comparado con 2016-22)

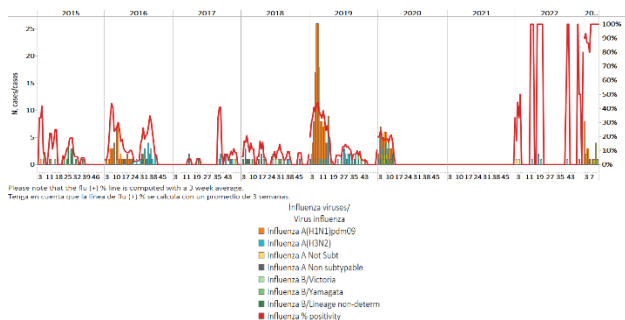




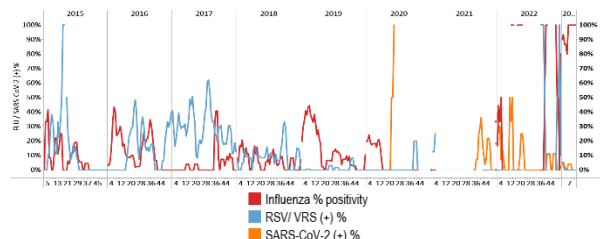
Suriname

During EW 12 2023, no samples were analyzed for influenza or RSV. Influenza A(H1N1) circulated in previous weeks. No samples were analyzed for SARS-CoV-2 (Graphs 1, 2, and 3). SARI cases / 100 hospitalizations have remained at moderate-intensity levels (Graph 4). Of six SARI cases sampled, none tested positive for the analyzed viruses. / Durante la SE 12 de 2023, no se analizaron muestras para influenza ni para VRS. Los virus influenza A(H1N1) circularon en semanas previas. No se analizaron muestras para SARS-CoV-2 (Gráficos 1, 2 y 3). El número de casos de IRAG por cada 100 hospitalizaciones se ha mantenido en niveles de intensidad moderada (Gráfico 4). De seis casos de IRAG con muestra, ninguno resultó positivo para los virus analizados.

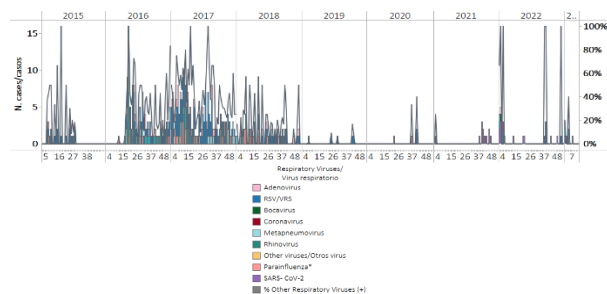
Graph 1. Suriname: Influenza virus distribution, EW 12, 2015-23
Distribución de virus influenza, SE 12, 2015-23



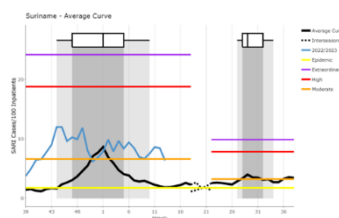
Graph 2. Suriname: Influenza, RSV, and SARS-CoV-2 distribution, EW 12, 2015-23
Distribución de los virus influenza, VRS y SARS-CoV-2, SE 12, 2015-23



Graph 3. Suriname: RSV, SARS-CoV-2, and other respiratory viruses distribution, EW 12, 2015-23
Distribución del VRS, SARS-CoV-2 y otros virus respiratorios, SE 12, 2015-23



Graph 4. Suriname: SARI cases/100 hospitalizations, EW 12, 2023 (compared to 2013-22)
Casos de IRAG por cada 100 hospitalizaciones, SE 12, 2023 (comparado con 2013-22)





SUBREGION
CENTRAL AMERICA / AMÉRICA CENTRAL

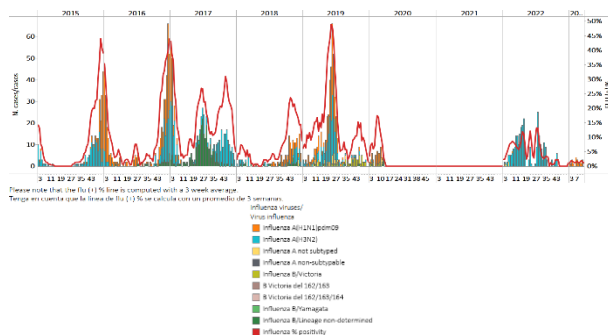




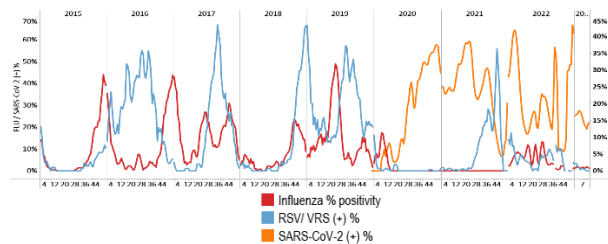
Costa Rica

During EW 12 2023, no influenza detections were registered. Influenza A(H1N1) was reported the previous week. No RSV detections were reported (Graphs 1, 2, and 3). Of 314 samples analyzed for SARS-CoV-2, 26.4% tested positive (Graphs 2 and 4), increasing compared to the previously registered. SARI cases decreased to baseline activity levels (Graph 5). / Durante la SE 12 de 2023 no se registraron detecciones de influenza. Se reportó influenza A(H1N1) en la semana previa. No se reportaron detecciones de VRS (Gráficos 1, 2 y 3). De 314 muestras analizadas para SARS-CoV-2, el 26,4% resultaron positivas (Gráficos 2 y 4), un aumento con respecto al registro previo. El número de casos de IRAG disminuyó ubicándose en los niveles de actividad basal (Gráfico 5).

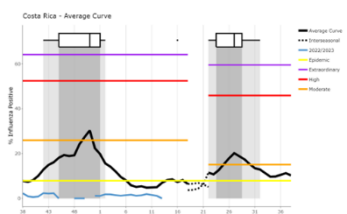
Graph 1. Costa Rica: Influenza virus distribution, EW 12, 2015-23
Distribución de virus influenza por SE 12, 2015-23



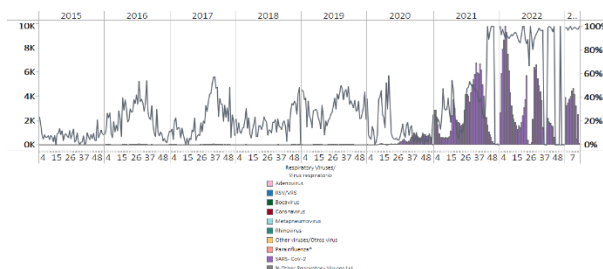
Graph 2. Costa Rica: Influenza, RSV, and SARS-CoV-2 distribution, EW 12, 2015-23
Distribución de los virus influenza, VRS y SARS-CoV-2, SE 12, 2015-23



Graph 3. Costa Rica: Percent positivity for influenza, EW 12, 2023 (compared to 2011-22)
Porcentaje de positividad de influenza, SE 12 de 2023 (comparado con 2011-22)

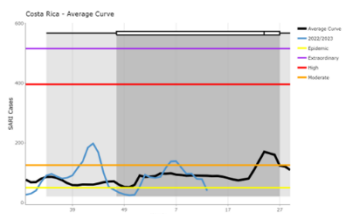


Graph 4. Costa Rica: RSV, SARS-CoV-2, and other respiratory viruses distribution, EW 12 2015-23
Distribución del VRS, SARS-CoV-2 y otros virus respiratorios, SE 12, 2015-23



Graph 5. Costa Rica: Number of SARI cases, EW 12, 2023 (compared to 2013-22)

Número de casos de IRAG, SE 12 de 2023 (comparado con 2013-22)

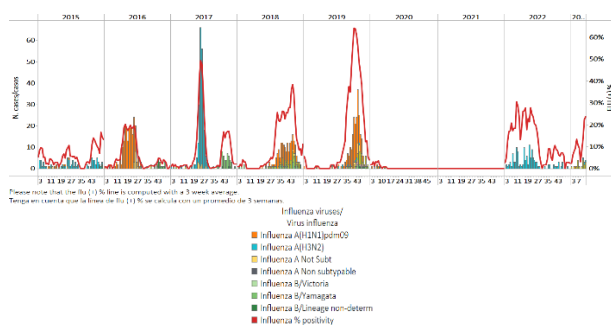




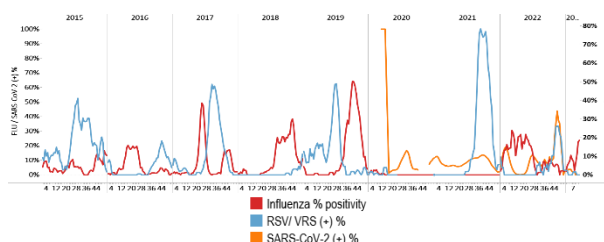
El Salvador

As of EW 12, detections were reported for influenza B/Victoria and A(H3N2) virus. Influenza activity remained elevated at moderate-intensity levels (Graphs 1, 2, and 3). No respiratory syncytial virus detections were reported; adenovirus detections were recorded during the reporting period. Eight samples were analyzed for SARS-CoV-2; none tested positive (Graph 4). SARI cases / 100 hospitalizations remained slightly above the epidemic threshold (Graph 5). / En la SE 12 se reportaron detecciones de los virus influenza B/Victoria y A(H3N2). La actividad de la influenza se mantuvo elevada en niveles de intensidad moderada (Gráficos 1, 2 y 3). No se informaron detecciones de virus respiratorio sincitial; adicionalmente, se registraron detecciones de adenovirus durante el período del informe. Se analizaron ocho muestras para SARS-CoV-2; ninguna resultó positiva (Gráfico 4). El número de casos de IRAG por cada 100 hospitalizaciones se mantuvo levemente por encima del umbral epidémico (Gráfico 5).

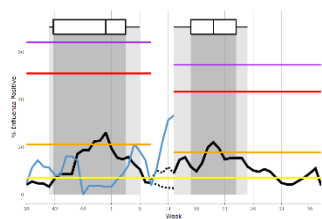
Graph 1. El Salvador: Influenza virus distribution, EW 12, 2015-23
Distribución de virus influenza, SE 12, 2015-23



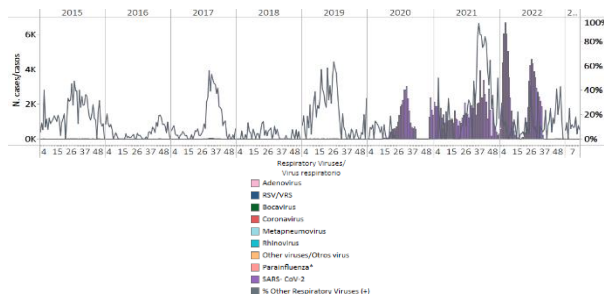
Graph 2. El Salvador: Influenza, RSV, and SARS-CoV-2 distribution, EW 12, 2015-23
Distribución de los virus influenza, VRS y SARS-CoV-2, SE 12, 2015-23



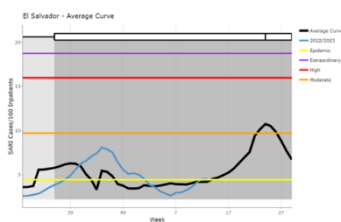
Graph 3. El Salvador: Percent positivity for influenza, EW 12, 2023 (compared to 2010-22)
Porcentaje de positividad de influenza, SE 12 de 2023 (comparación 2010-22)



Graph 4. El Salvador: RSV, SARS-CoV-2, and other respiratory viruses distribution, EW 12, 2015-23
Distribución del VRS, SARS-CoV-2 y otros virus respiratorios, SE 12, 2015-23



Graph 5. El Salvador: Number of SARI cases / 100 inpatients EW 12, 2023 (compared to 2016-2022)
Número de casos de IRAG / 100 hospitalizaciones, SE 12 de 2023 (comparado con 2016-22)

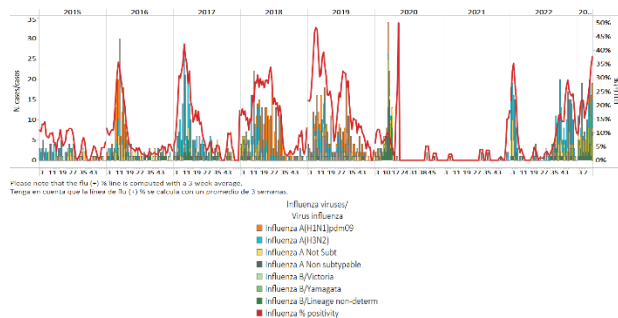




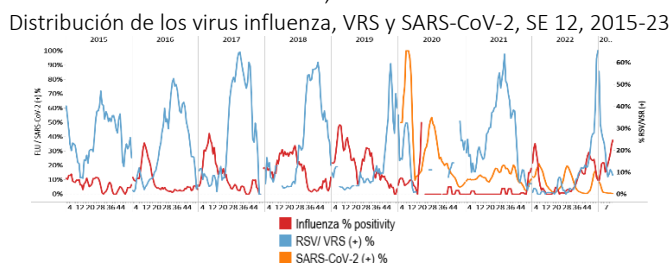
Guatemala

During EW 12 2023, influenza A viruses predominated; influenza A(H3N2), B/Victoria (where lineage was characterized), and A(H1N1)pdm09 were co-circulated. Since EW 6, influenza activity has shown an increasing trend at moderate-intensity levels. Respiratory syncytial virus detections were recorded at sentinel sites with activity remaining stable compared to the previous recorded; rhinovirus, coronavirus, and adenovirus were co-circulated during the reporting period. Among 850 samples analyzed for SARS-CoV-2, two tested positive (0.2%), remaining stable compared to the previous week (Graphs 1, 2, 3, and 4). Influenza-like illness/1000 outpatients stayed unchanged and were at low-intensity levels (Graph 5); in contrast, severe acute respiratory infections/100 hospitalizations increased at the average of previous years at low levels (Graph 6). / Durante la SE 12 de 2023 predominaron los virus influenza A; influenza A(H3N2), B/Victoria y A(H1N1)pdm09 circularon concurrentemente. Desde la SE 6, la actividad de la influenza ha mostrado una tendencia creciente con niveles de intensidad moderada. En los sitios centinela se registraron detecciones del virus respiratorio sincitial cuya actividad se mantuvo estable en comparación con el registro previo; el rinovirus, el coronavirus y el adenovirus circularon simultáneamente durante el período reportado. De 850 muestras analizadas para SARS-CoV-2, dos resultaron positivas (0,2 %), manteniéndose estable en comparación con la semana previa (Gráficos 1, 2, 3 y 4). El número de visitas por enfermedad tipo influenza por cada 1000 pacientes ambulatorios se mantuvo sin cambios y se ubicó en niveles de baja intensidad (Gráfico 5); en cambio, el número de infecciones respiratorias agudas graves por cada 100 hospitalizaciones aumentó ubicándose en el promedio de años anteriores en niveles de actividad bajos (Gráfico 6).

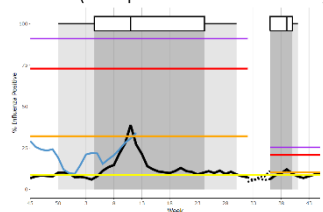
Graph 1. Guatemala: Influenza virus distribution, EW 12, 2015-23
Distribución de influenza, SE 12, 2015-23



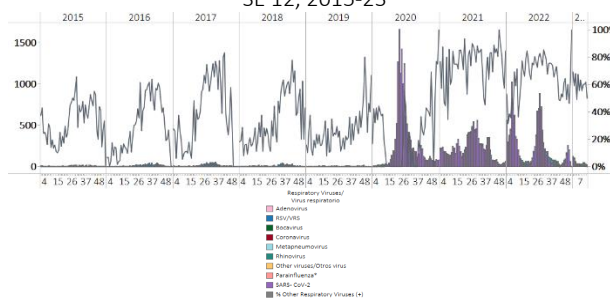
Graph 2. Guatemala: Influenza, RSV, and SARS-CoV-2 distribution, EW 12, 2015-23
Distribución de los virus influenza, VRS y SARS-CoV-2, SE 12, 2015-23



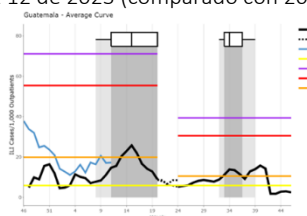
Graph 3. Guatemala: Percentage positivity for influenza, EW 12, 2023 (compared to 2010-22)
Porcentaje de positividad de influenza, SE 12 de 2023 (comparado con 2010-22)



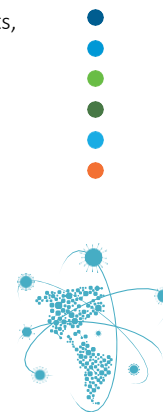
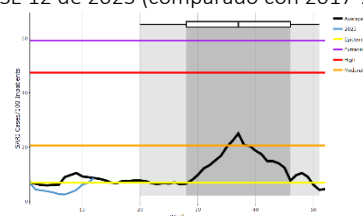
Graph 4. Guatemala: RSV, SARS-CoV-2, and other respiratory viruses distribution, EW 12, 2015-23
Distribución del VRS, SARS-CoV-2 y otros virus respiratorios, SE 12, 2015-23



Graph 5. Guatemala: ILI cases/1000 outpatients, EW 12, 2023 (compared to 2015-22)
Casos de ETI por cada 1000 consultas ambulatorias, SE 12 de 2023 (comparado con 2015-22)



Graph 6. Guatemala: Number of SARI cases / 100 inpatients, EW 12, 2023 (compared to 2017-22)
Número de casos de IRAG / 100 hospitalizaciones, SE 12 de 2023 (comparado con 2017-22)

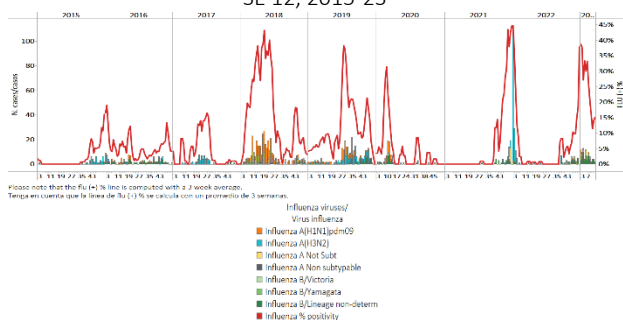




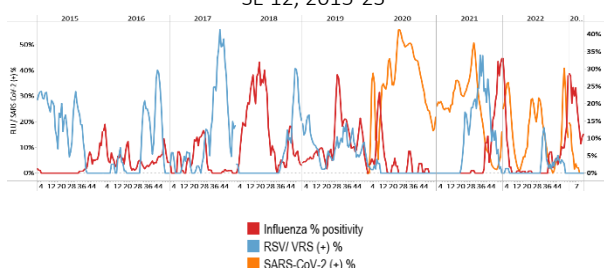
Honduras

In EW 12 2023, influenza B (lineage undetermined) detections were reported. After seven weeks at moderate-intensity level, Influenza activity decreased to low levels. No RSV detections were registered (Graphs 1, 2, and 3). At the national level, no samples were analyzed for SARS-CoV-2 (Graphs 2 and 4). Severe acute respiratory infections remained below the epidemic levels; similarly, influenza-like illness was below the average of prior years at baseline levels (Graphs 5 and 6). / En la SE 12 de 2023, se reportaron detecciones de influenza B (linaje indeterminado). Después de siete semanas en niveles de intensidad moderados, la actividad de la influenza disminuyó a niveles bajos. No se registraron detecciones de VRS (Gráficos 1, 2 y 3). A nivel nacional, no se analizaron muestras para SARS-CoV-2 (Gráficos 2 y 4). El número de casos de infecciones respiratorias agudas graves permaneció por debajo de los niveles epidémicos; de manera similar, el número de casos de enfermedad tipo influenza estuvo por debajo del promedio de años previos en los niveles basales (Gráficos 5 y 6).

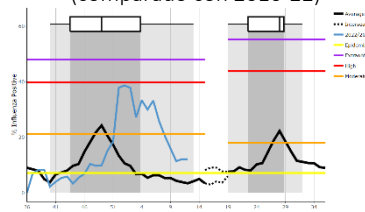
Graph 1. Honduras: Influenza virus distribution, EW 12, 2015-23
Distribución virus de la influenza, SE 12, 2015-23



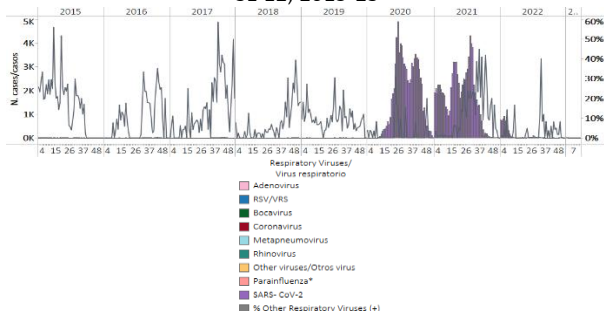
Graph 2. Honduras: Influenza, RSV, and SARS-CoV-2 distribution, EW 12, 2015-23
Distribución de los virus influenza, VRS y SARS-CoV-2, SE 12, 2015-23



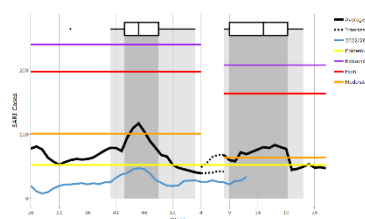
Graph 3. Honduras: Percent positivity for influenza, EW 12, 2023 (compared to 2010-22)
Porcentaje de positividad de influenza SE 12 de 2023 (comparado con 2010-22)



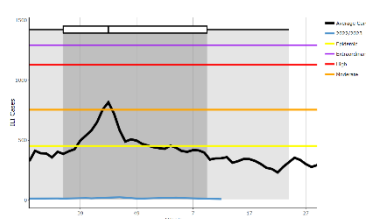
Graph 4. Honduras: RSV, SARS-CoV-2, and other respiratory virus distribution, EW 12, 2015-23
Distribución del VRS, SARS-CoV-2 y otros virus respiratorios, SE 12, 2015-23



Graph 5. Honduras: SARI cases, from sentinel surveillance, EW 12, 2023 (compared to 2010-22)
Casos de IRAG de la vigilancia centinela, SE 12 de 2023 (comparado con 2010-22)



Graph 6. Honduras: ILI cases, from sentinel surveillance, EW 12, 2023 (compared to 2010-22)
Casos de ETI de la vigilancia centinela, SE 12 de 2023 (comparado con 2010-22)

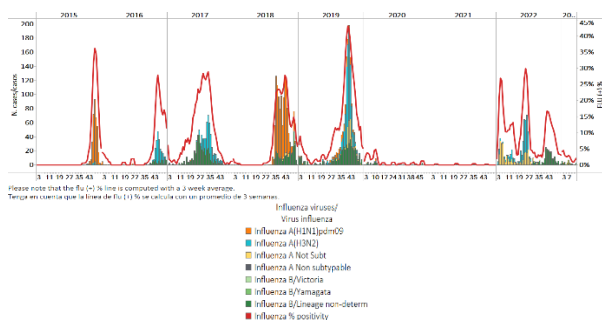




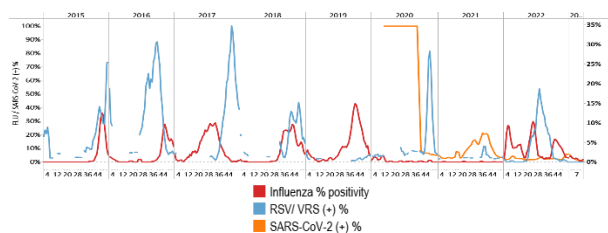
Nicaragua

During EW 12 2023, influenza B (lineage undetermined) detections were reported. Influenza activity remained at baseline levels. No respiratory syncytial virus detections were registered during the reporting period (Graphs 1, 2, and 3). SARS-CoV-2 percent positivity remained at very low levels (Graphs 2 and 4). Of 696 samples analyzed for SARS-CoV-2, 0.7% tested positive. / Durante la SE 12 de 2023, se reportaron detecciones del virus influenza B (linaje indeterminado). La actividad de la influenza se mantuvo en niveles basales. No se registraron detecciones de virus respiratorio sincitial durante el período de reporte (Gráficos 1, 2 y 3). El porcentaje de positividad de SARS-CoV-2 permaneció en niveles muy bajos (Gráficos 2 y 4). De 696 muestras analizadas para SARS-CoV-2, el 0,7 % resultaron positivas.

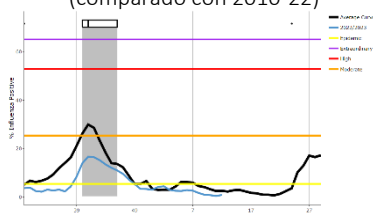
Graph 1. Nicaragua: Influenza virus distribution, EW 12, 2015-23
Distribución de influenza, SE 12, 2015-23



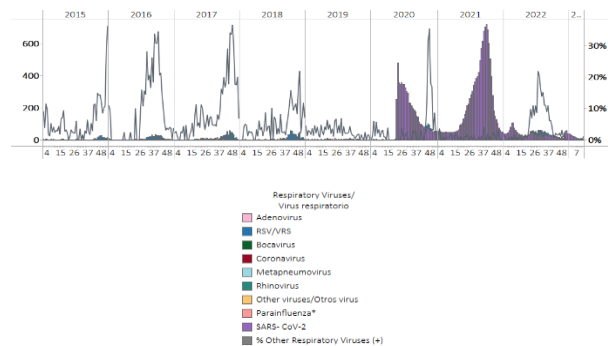
Graph 2. Nicaragua: Influenza, RSV, and SARS-CoV-2 distribution, EW 12, 2015-23
Distribución de los virus influenza, VRS y SARS-CoV-2, SE 12, 2015-23



Graph 3. Nicaragua: Percent positivity for influenza, EW 12, 2023 (compared to 2010-22)
Porcentaje de positividad, SE 12 de 2023 (comparado con 2010-22)



Graph 4. Nicaragua: RSV and other respiratory virus distribution, EW 12, 2015-23
Distribución del VRS y otros virus respiratorios, SE 12, 2015-23

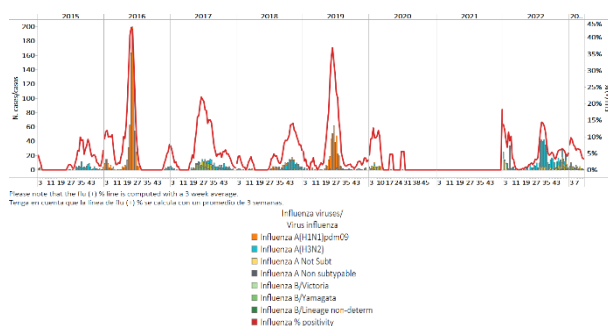




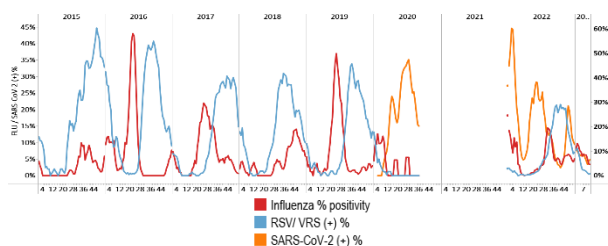
Panama / Panamá

During EW 12 2023, a few B/Victoria virus detections were recorded. Influenza activity decreased and remained at baseline levels. No respiratory syncytial virus detections were reported (Graphs 1, 2, 3, and 4). During the reporting period, the circulation of the rhinovirus, parainfluenza, adenovirus, and coronavirus was recorded at lower levels than in previous weeks. Among 80 samples analyzed for SARS-CoV-2, six (7.5%) tested positive, an increase compared to the previously registered (Graphs 2 and 4). / Durante la SE 12 de 2023, se registraron algunas detecciones del virus B/Victoria. La actividad de la influenza disminuyó y se mantuvo en los niveles basales. No se reportaron detecciones de virus respiratorio sincital (Gráficos 1, 2, 3 y 4). Durante el período reportado, se registró la circulación de los virus parainfluenza, rinovirus, adenovirus y coronavirus con niveles de actividad más bajos que en semanas previas. De 80 muestras analizadas para SARS-CoV-2, seis (7,5 %) resultaron positivas, un aumento en comparación con el registro previo (Gráficos 2 y 4).

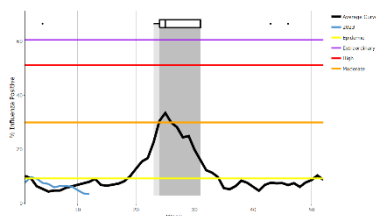
Graph 1. Panama: Influenza virus distribution, EW 12, 2015-23
Distribución virus de influenza, SE 12, 2015-23



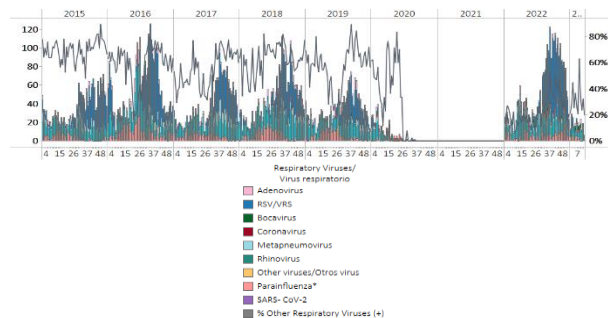
Graph 2. Panama: Influenza, RSV, and SARS-CoV-2 distribution, EW 12, 2015-23
Distribución de los virus influenza, VRS, and SARS-CoV-2, SE 12, 2015-23



Graph 3. Panama: Percent positivity for influenza, from sentinel surveillance, EW 12, 2023 (compared to 2010-22)
Porcentaje de positividad de influenza, de la vigilancia centinela, SE 12 de 2023 (comparado con 2010-22)

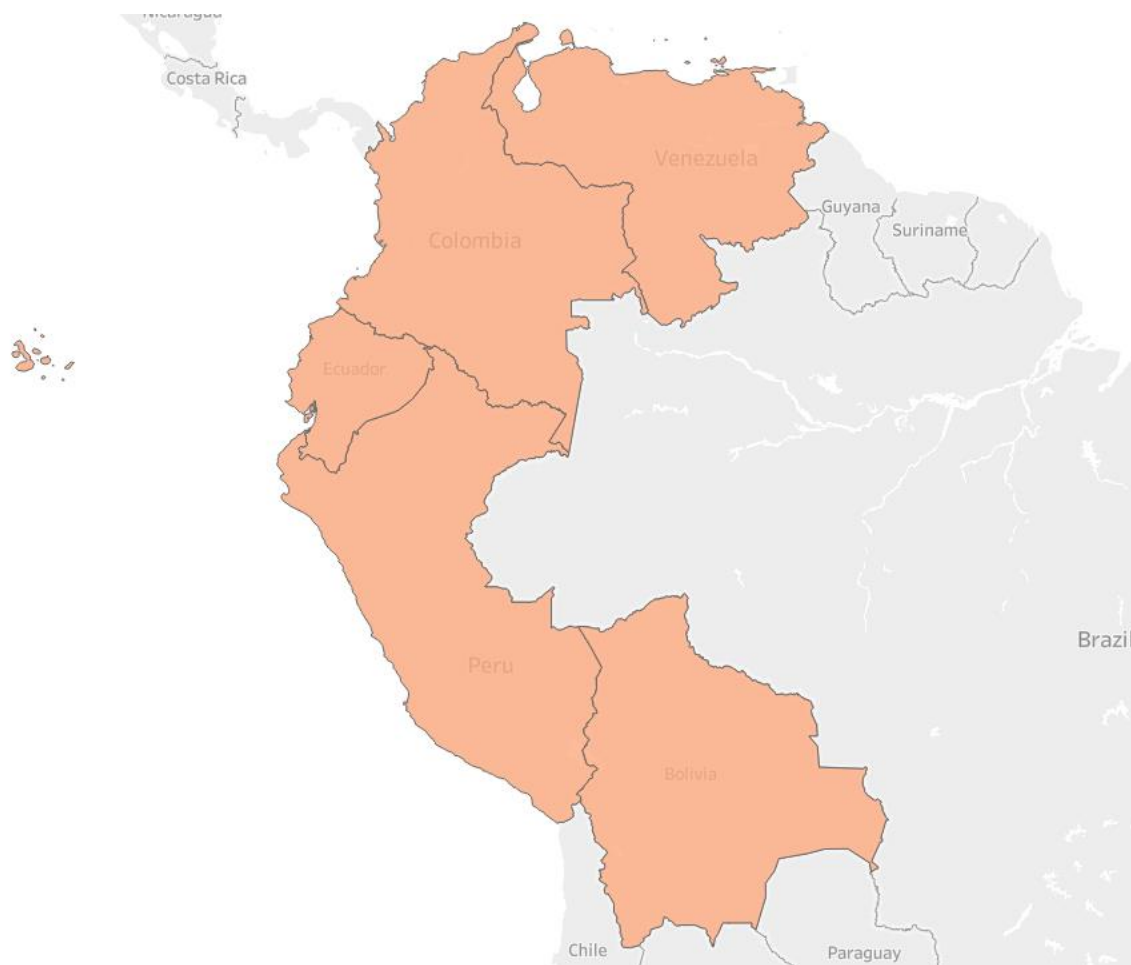


Graph 4. Panama: RSV and other respiratory viruses distribution, EW 12, 2015-23
Distribución del VRS y otros virus respiratorios, SE 12, 2015-23





SUBREGION
SOUTH AMERICA / AMÉRICA DEL SUR – ANDEAN COUNTRIES / PAÍSES
ANDINOS

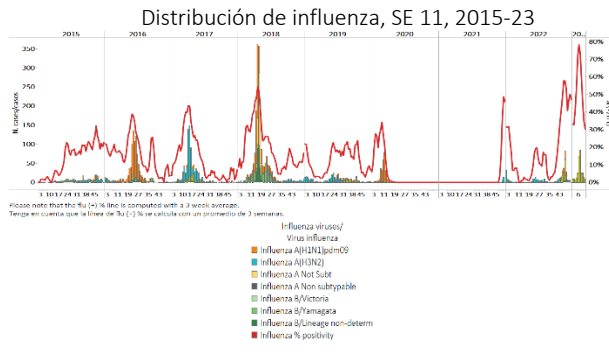




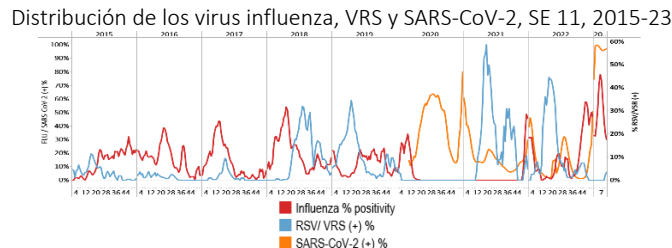
Bolivia

During EW 11 2023, influenza A(H1N1)pdm09 and B/Victoria viruses were detected in similar amounts (Graph 1). Influenza activity remains elevated at extraordinary intensity levels for this time of year. Few respiratory syncytial virus detections were reported. In contrast, 663 samples were analyzed for SARS-CoV-2; 97.0% tested positive, remaining stable compared to the previous week (Graphs 2, 3, and 4). SARI cases / 100 hospitalizations were elevated at moderate-intensity levels for this time of year (Graph 5). Of 62 SARI-sampled patients, 14.5% tested positive for influenza, and none tested positive for SARS-CoV-2. Most influenza-associated SARI was 20-39 years old. There were no SARI cases among the seven ICU admissions. / Durante la SE 11 de 2023 se detectaron los virus influenza A(H1N1)pdm09 y B/Victoria en cantidades similares (Gráfico 1). La actividad de la influenza permanece elevada en niveles de intensidad extraordinarios para esta época del año. Se informaron pocas detecciones de virus respiratorio sincitial. Por el contrario, se analizaron 663 muestras para SARS-CoV-2; el 97,0 % resultaron positivas, manteniéndose estable con respecto a la semana previa (Gráficos 2, 3 y 4). El número de casos de IRAG por cada 100 hospitalizaciones estuvo elevado en niveles de intensidad moderada para esta época del año (Gráfico 5). De 62 pacientes con muestra para IRAG, el 14,5 % resultaron positivos para influenza y ninguno resultó positivo para SARS-CoV-2. La mayoría de los casos de IRAG asociados con la influenza tenían entre 20 y 39 años. De las siete admisiones que hubo en la UCI, no se registraron casos de IRAG.

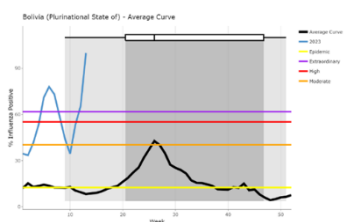
Graph 1. Bolivia: Influenza virus distribution, EW 11, 2015-23



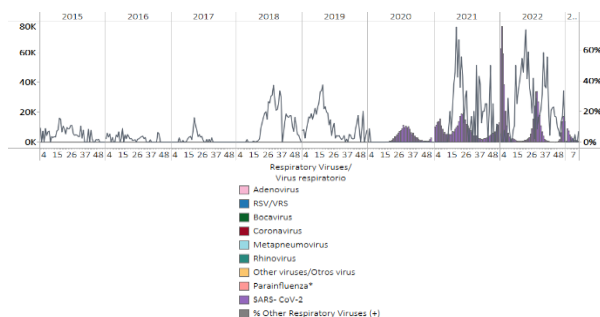
Graph 2. Bolivia: Influenza, RSV, and SARS-CoV-2 distribution, EW 11, 2015-23



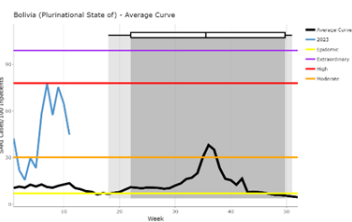
Graph 3. Bolivia: Percent positivity for influenza, from sentinel surveillance; EW 11, 2023 (compared to 2010-22)



Graph 4. Bolivia: RSV, SARS-CoV-2, and other respiratory viruses distribution, EW 11, 2015-23



Graph 5. Bolivia: Number of SARI cases / 100 inpatients, EW 11, 2023 (compared to 2015-22)

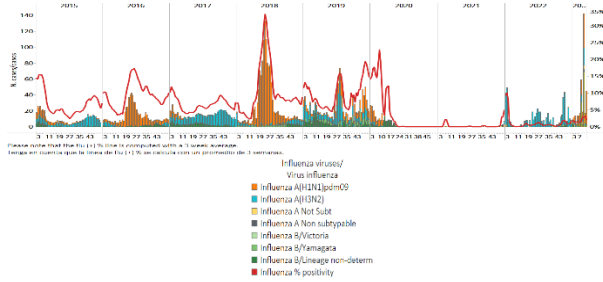




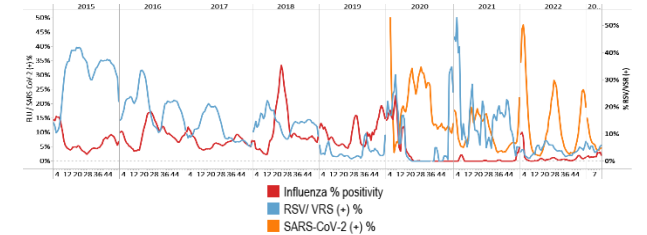
Colombia

During EW 12 2023, influenza A viruses predominated; influenza A(H1N1)pdm09 and B/Victoria were co-circulated. Influenza activity has remained at baseline levels. Respiratory syncytial virus detections were recorded with percent positivity at low levels and increasing (Graphs 1, 2, and 3). Rhinovirus, parainfluenza, adenovirus, metapneumovirus, and coronavirus were co-circulated during the reporting period at lower levels than in the pre-pandemic period. Among 3312 samples analyzed for SARS-CoV-2, 4.1% tested positive, remaining stable compared to the prior registered, with lower detections than reported last week (Graphs 2 and 4). SARI cases have shown an increasing trend at low-intensity levels (Graph 5); acute respiratory infection cases continued unchanged at moderate levels (Graph 6). / Durante la SE 12 de 2023 predominaron los virus influenza A; influenza A(H1N1)pdm09 y B/Victoria circularon concurrentemente. La actividad de la influenza se ha mantenido en los niveles basales. Se registraron detecciones de virus respiratorio sincitial con un porcentaje de positividad en niveles bajos y con tendencia al aumento (Gráficos 1, 2 y 3). El rinovirus, la parainfluenza, el adenovirus, el metapneumovirus y el coronavirus circularon simultáneamente durante el período del informe a niveles más bajos que en el período previo a la pandemia. De 3312 muestras analizadas para SARS-CoV-2, el 4,1 % resultaron positivas, permaneciendo estable en comparación con el registro previo, con detecciones más bajas que las reportadas la semana pasada (Gráficos 2 y 4). El número de casos de IRAG ha mostrado una tendencia creciente ubicándose en niveles de baja intensidad (Gráfico 5); el número de casos de infecciones respiratorias agudas continuó sin cambios en niveles de actividad moderados (Gráfico 6).

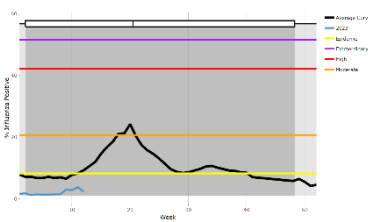
Graph 1. Colombia: Influenza virus distribution, EW 12, 2015-23
Distribución de virus influenza, SE 12, 2015-23



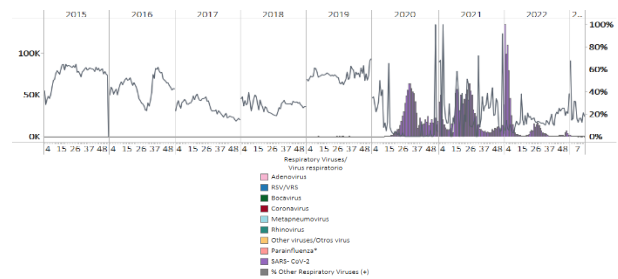
Graph 2. Colombia: Influenza, RSV and SARS-CoV-2 distribution, EW 12, 2015-23
Distribución de virus influenza, VRS y SARS-CoV-2, SE 12, 2015-23



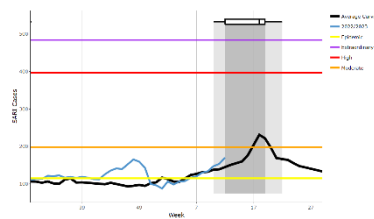
Graph 3. Colombia: Percent positivity for influenza, EW 12, 2023 (compared to 2010-22)
Porcentaje de positividad de influenza, SE 12 de 2023 (comparado con 2010-22)



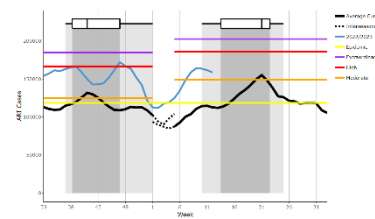
Graph 4. Colombia: RSV, SARS-CoV-2, and other respiratory virus distribution, EW 12, 2015-23
Distribución del VRS, SARS-CoV-2 y otros virus respiratorios, SE 12 2015-23



Graph 5: Colombia: SARI cases, EW 12, 2023 (compared to 2013-22)
Casos de IRAG, SE 12 de 2023 (comparado con 2013-22)



Graph 6. Colombia: Number of ARI cases EW 12, 2023 (compared to 2012-22)
Número de casos de IRA SE 12 de 2023 (comparado con 2012-22)

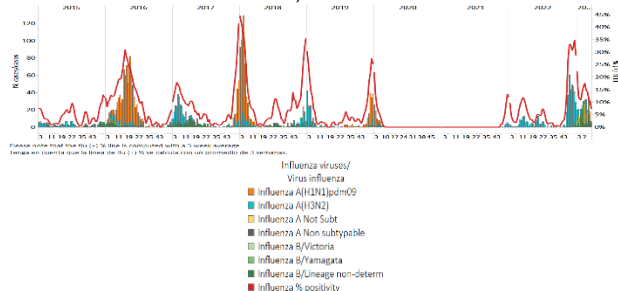




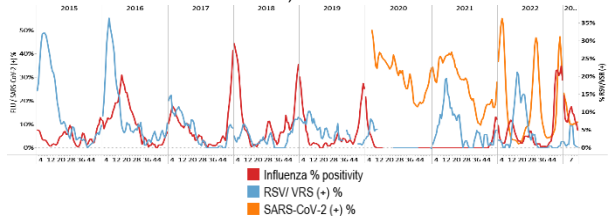
Ecuador

In EW 12 2023, influenza B (lineage undetermined) detections were reported, followed by A(H1N1)pdm09 virus; influenza activity has decreased in recent weeks remaining at low-intensity levels. No respiratory syncytial virus detections were reported (Graphs 1, 2, and 3). SARS-CoV-2 percent positivity (11.8%) increased compared to previously registered (Graphs 2 and 4). / En la SE 12 de 2023 se reportaron detecciones de influenza B (linaje indeterminado), seguidas del virus A(H1N1)pdm09; la actividad de la influenza ha disminuido en las últimas semanas permaneciendo en niveles de intensidad baja. No se reportaron detecciones de virus respiratorio sincitial (Gráficos 1, 2 y 3). El porcentaje de positividad del SARS-CoV-2 (11,8 %) aumentó en comparación con el registrado previamente (Gráficos 2 y 4).

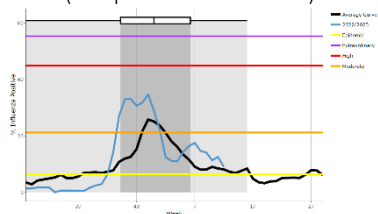
Graph 1. Ecuador: Influenza virus distribution from SARI sentinel cases, EW 12, 2015-23
 Distribución de virus influenza de casos de IRAG centinela SE 12, 2015-23



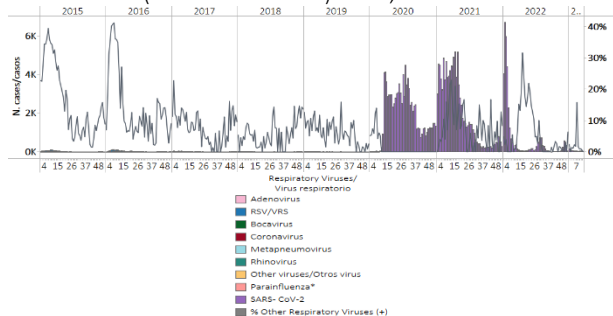
Graph 2. Ecuador: Influenza, RSV, and SARS-CoV-2 distribution EW 12, 2015-23
 Distribución de los virus influenza, VRS y SARS-CoV-2, SE 12, 2015-23



Graph 3. Ecuador: Percent positivity for influenza, EW 12, 2023 (compared to 2011-22)
 Porcentaje de positividad de influenza, SE 12 de 2023 (comparado con 2011-22)



Graph 4. Ecuador: RSV, SARS-CoV-2, and other respiratory viruses distribution, (non-sentinel sites) EW 12, 2015-23
 Distribución del VRS, SARS-CoV-2 y otros virus respiratorios, (sitios no centinela) SE 12, 2015-23

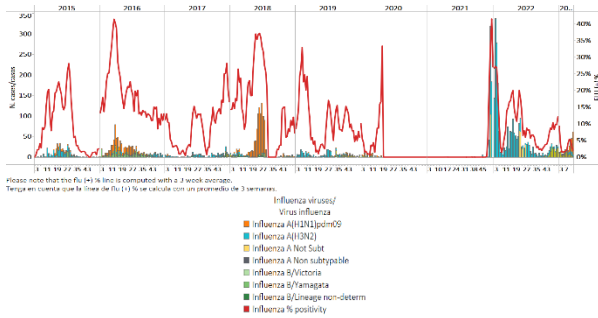




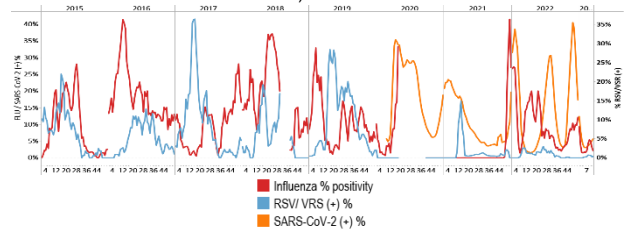
Peru / Perú

During EW 12 2023, influenza A(H1N1)pdm09 viruses predominated followed by A(H3N2) and influenza B/Victoria (Graph 1). Influenza activity decreased at baseline levels (Graph 3). Few respiratory syncytial virus detections were recorded, with activity at baseline levels. SARS-CoV-2 percent positivity (6.5%) increased slightly compared to the previous week (Graphs 2 and 4). SARI cases remained increased at moderate levels; similarly ILI visits were at low levels (Graphs 5 and 6). / Durante la SE 12 de 2023 predominaron los virus influenza A(H1N1)pdm09 seguidos de A(H3N2) e influenza B linaje Victoria (Gráfico 1). La actividad de la influenza disminuyó ubicándose en niveles de actividad basales (Gráfico 3). Se registraron pocas detecciones de virus respiratorio sincitial, con actividad en los niveles basales. El porcentaje de positividad del SARS-CoV-2 (6,5 %) aumentó ligeramente en comparación con la semana previa (Gráficos 2 y 4). El número de casos de IRAG se mantuvo en niveles moderados; de manera similar el número de casos de ETI se mantuvo en niveles bajos (Gráficos 5 y 6).

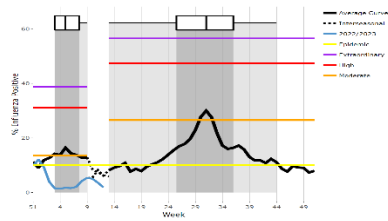
Graph 1. Peru: Influenza virus distribution, EW 12, 2015-23
Distribución de virus influenza, SE 12, 2015-23



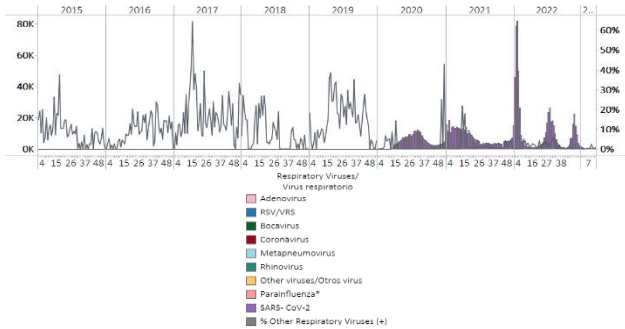
Graph 2. Peru: Influenza, RSV, and SARS-CoV-2 distribution, EW 12, 2015-23
Distribución de virus influenza, VRS y SARS-CoV-2, SE 12, 2015-23



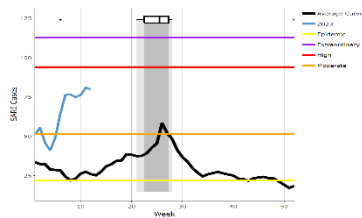
Graph 3. Peru: Percent positivity for influenza, EW 12, 2023
(compared to 2010-22)
Porcentaje de positividad de influenza, SE 12 de 2023
(comparado con 2010-22)



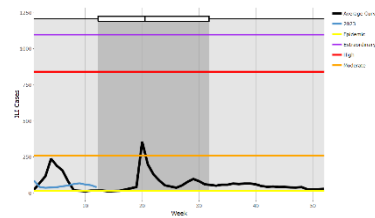
Graph 4. Peru: RSV, SARS-CoV-2, and other respiratory viruses distribution, EW 12, 2015-23
Distribución del VRS, SARS-CoV-2 y otros virus respiratorios, SE 12, 2015-23



Graph 5. Peru: Number of SARI cases, EW 9, 2023
(compared to 2015-22)
Número de casos IRAG, SE 9 de 2023
(comparado con 2015-22)



Graph 6. Peru: Number of ILI cases, EW 9, 2023
(compared to 2016-22)
Número de casos ETI, SE 9 de 2023
(comparado con 2016-22)

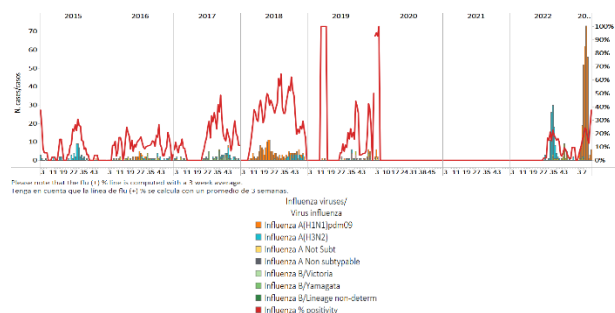




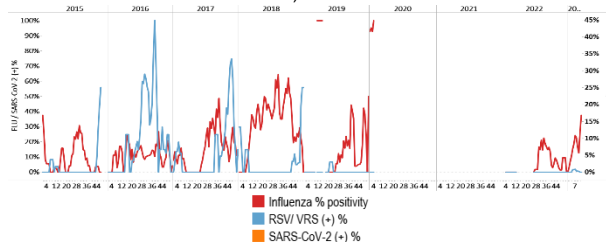
Venezuela

During EW 12, influenza detections were reported, with the circulation of influenza A(H1N1)pdm09 (Graph 1); no RSV detections were recorded (Graph 2). Influenza activity increased below the average of previous years at baseline levels (Graph 3). No other respiratory virus detections were recorded (Graph 4). / Durante la SE 12 se reportaron detecciones de influenza, con la circulación de influenza A(H1N1)pdm09 (Gráfico 1); no se registraron detecciones de VRS (Gráfico 2). La actividad de la influenza aumentó ubicándose debajo del promedio de años anteriores en niveles basales (Gráfico 3). No se registraron detecciones de otros virus respiratorios (Gráfico 4).

Graph 1. Venezuela: Influenza virus distribution by EW 12, 2015-23
 Distribución de virus influenza por SE 12, 2015-23

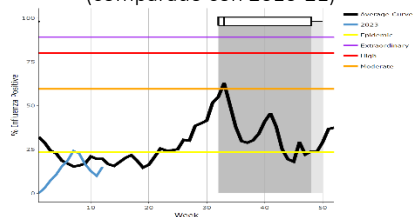


Graph 2. Venezuela: Influenza, RSV, and SARS-CoV-2 distribution, EW 12, 2015-23
 Distribución de virus influenza, VRS y SARS-CoV-2, SE 12, 2015-23

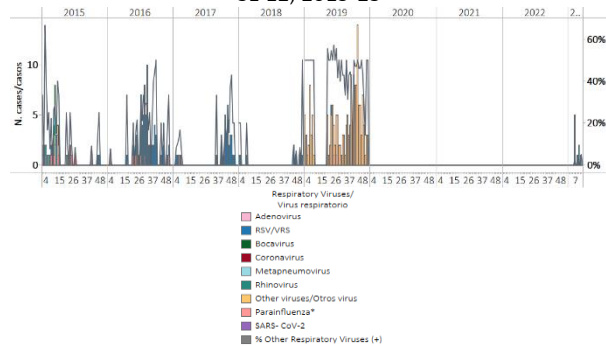


Graph 3. Venezuela: Percent positivity for influenza, EW 12, 2023
 (compared to 2010-21)

Porcentaje de positividad de influenza, SE 12 de 2023
 (comparado con 2010-21)



Graph 4. Venezuela: RSV, SARS-CoV-2, and other respiratory viruses distribution, EW 12, 2015-23
 Distribución del VRS, SARS-CoV-2 y otros virus respiratorios, SE 12, 2015-23





SUBREGION
SOUTH AMERICA / AMÉRICA DEL SUR
SOUTH CONE AND BRAZIL / CONO SUR Y BRASIL

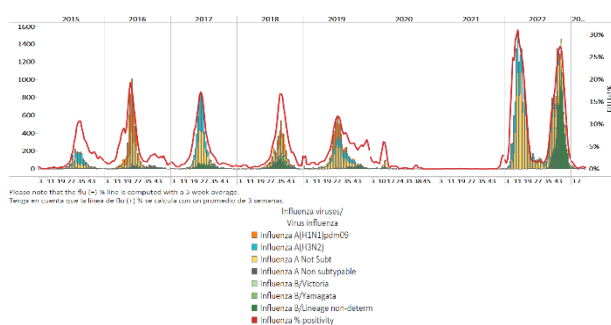




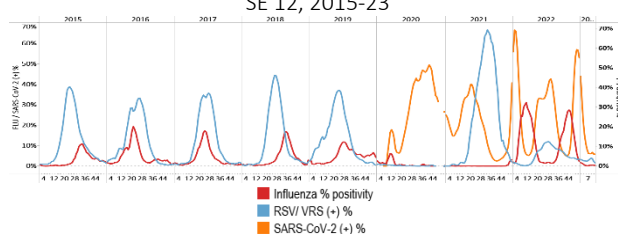
Argentina

During EW 12 2023, no influenza detections were reported nationally. Influenza A and B viruses (subtype and lineage undetermined) were co-circulated in the previous week. Influenza activity remained at baseline levels (Graphs 1 and 3). In addition, no respiratory syncytial virus detections were recorded. SARS-CoV-2 activity was low, with stable percent positivity (4.0%) (Graphs 2 and 4). In addition, ILI consultations were below the average of previous seasons for this time of year at baseline levels (Graph 5); similarly, the number of SARI cases remained stable at baseline levels (Graph 6). / Durante la SE 12 de 2023, no se reportaron detecciones de influenza a nivel nacional. Los virus de influenza A y B (subtipo y linaje indeterminados) circularon conjuntamente en la semana previa. La actividad de la influenza se mantuvo en los niveles basales (Gráficos 1 y 3). Adicionalmente, no se registraron detecciones de virus respiratorio sincitial. La actividad del SARS-CoV-2 estuvo baja, con un porcentaje de positividad estable en 4,0 % (Gráficos 2 y 4). Además, el número de consultas por ETI estuvo por debajo del promedio de temporadas previas para esta época del año ubicándose en niveles basales (Gráfico 5); de igual forma, el número de casos de IRAG se mantuvo estable en los niveles basales (Gráfico 6).

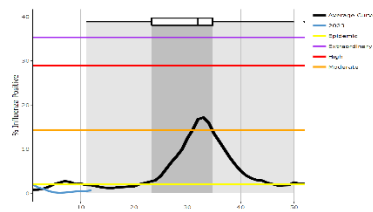
Graph 1. Argentina: Influenza virus distribution, EW 12, 2015-23
Distribución de virus influenza, SE 12, 2015-23



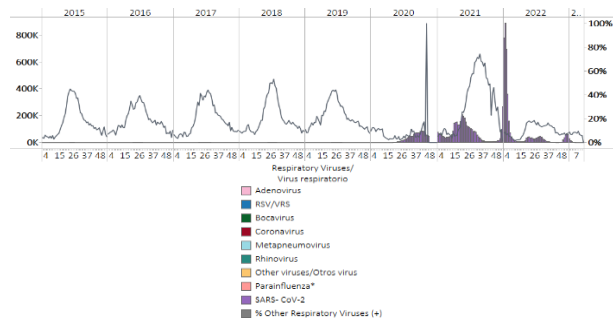
Graph 2. Argentina: Influenza, RSV, and SARS-CoV2 distribution
EW 12, 2015-23
Distribución de virus influenza, VRS y SARS-CoV-2,
SE 12, 2015-23



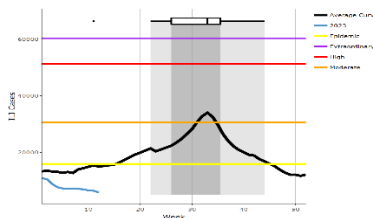
Graph 3. Argentina: Percent positivity for influenza, EW 12, 2023
(compared to 2010-22)
Porcentaje de positividad de influenza, SE 12 de 2023
(comparado con 2010-22)



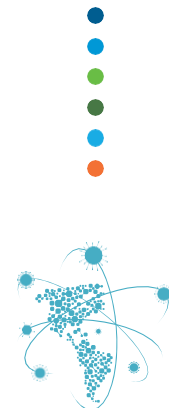
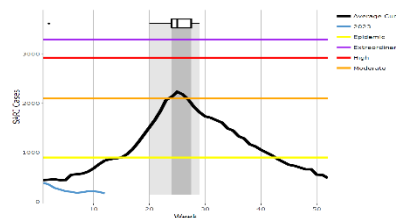
Graph 4. Argentina: RSV, SARS-CoV-2, and other respiratory virus
distribution, EW 12, 2015-23
Distribución del VRS, SARS-CoV-2 y otros virus respiratorios,
SE 12, 2015-23



Graph 5. Argentina: Number of ILI cases, EW 12, 2023
(compared to 2012-22)
Número de casos de ETI, SE 12 de 2023
(comparado con 2012-22)



Graph 6. Argentina: Number of SARI cases, EW 12, 2023
(compared to 2012-22)
Número de casos de IRAG, SE 12 de 2023
(comparado con 2012-22)

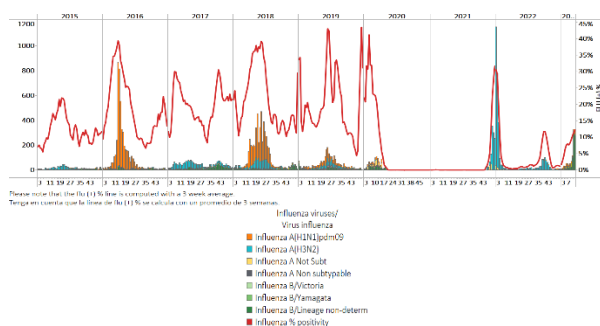




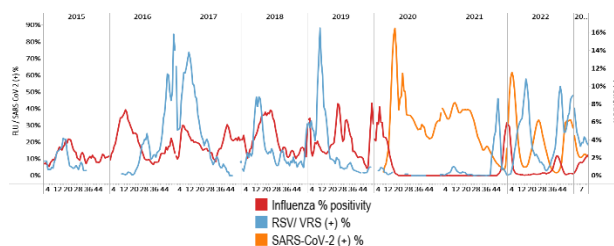
Brazil / Brasil

In EW 12 2023, influenza B viruses predominated; among samples with characterized lineage, the B/Victoria virus was detected. In addition, influenza A(H1N1)pdm09 was co-circulated. Influenza activity continued to increase, remaining at baseline levels (Graphs 1 and 3). However, respiratory syncytial virus activity continues raised. SARS-CoV-2 detections and percent positivity (10.2%) remained elevated (Graphs 2 and 4). SARI cases / 100 hospitalizations at the average of previous years remained at a low-intensity level (Graph 5). / En la SE 12 de 2023 predominaron los virus influenza B; entre las muestras con linaje caracterizado se detectó el virus B/Victoria. Además, circuló concurrentemente influenza A(H1N1)pdm09. La actividad de la influenza continuó aumentando, manteniéndose en los niveles basales (Gráficos 1 y 3). Sin embargo, la actividad del virus respiratorio sincitial continúa elevada. Las detecciones de SARS-CoV-2 y el porcentaje de positividad (10,2 %) permanecieron elevados (Gráficos 2 y 4). El número de casos de IRAG por cada 100 hospitalizaciones se ubicó en el promedio de años previos y permaneció en un nivel de baja intensidad (Gráfico 5).

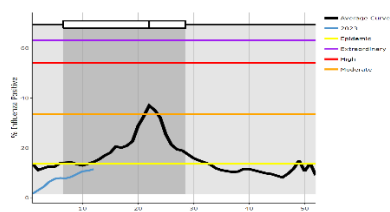
Graph 1. Brazil: All NICs. Influenza virus distribution, EW 12, 2015-23
Distribución de virus influenza, SE 12, 2015-23



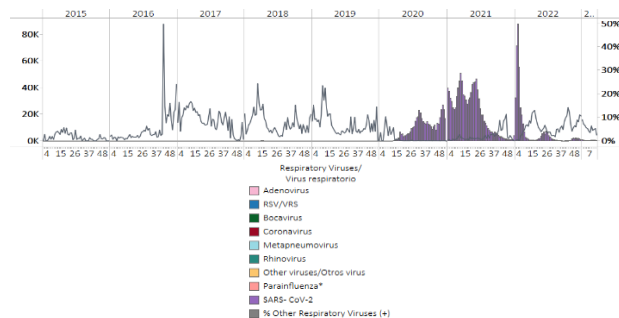
Graph 2. Brazil: All NICs. Influenza, RSV, and SARS-CoV-2, distribution, EW 12, 2015-23
Distribución de los virus influenza, VRS y SARS-CoV-2, SE 12, 2015-23



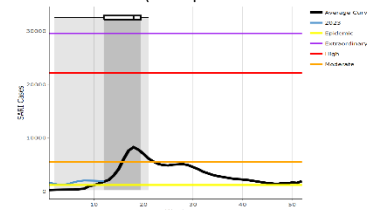
Graph 3. Brazil: Percent positivity for influenza, EW 12, 2023 (compared to 2011-22)
Porcentaje de positividad de influenza, SE 12 de 2023 (comparado con 2011-22)



Graph 4. Brazil: All NICs. RSV, SARS-CoV-2, and other respiratory virus distribution, EW 12, 2015-23
Distribución del VRS, SARS-CoV-2 y otros virus respiratorios, SE 12, 2015-23



Graph 5. Brazil: SARI cases/100 hospitalizations EW 12, 2023 (compared to 2020-22)
Casos de IRAG/100 hospitalizaciones SE 12 de 2023 (comparado con 2020-22)

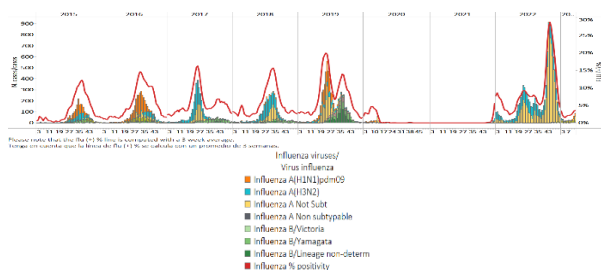




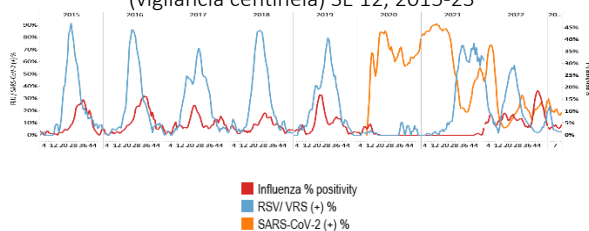
Chile

During EW 12 2023, the influenza A(H1N1)pdm09 virus (where subtyping was performed)predominated, with the co-circulation of influenza B (lineage undetermined). Influenza activity remained above the average of previous years, at the epidemic threshold (Graphs 1 and 3). Respiratory syncytial virus activity levels and percent positivity decreased; adenovirus, parainfluenza, and metapneumovirus were registered at higher levels than pre-pandemic levels for this time of year. SARS-CoV-2 activity increased slightly (21.2%) compared to the previously reported (Graphs 2 and 4). Influenza-like illness visits have shown an increasing trend at low-intensity levels for this time of year (Graph 5). Of 280 ILI cases, 100 were sampled; 16.0% tested positive for influenza, and 5.0% were positive for SARS-CoV-2, 8.0% were positive for other different analyzed viruses. Similarly, severe acute respiratory infection cases / 100 hospitalizations remained unchanged at low-intensity levels (Graph 6). Among 164 sampled SARI cases, 11.6% were positive for SARS-CoV-2, and 1.2% were influenza-associated SARI. Durante la SE 12 de 2023 predominó el virus influenza A(H1N1)pdm09 (en muestras con subtipo determinado), con la circulación concurrente de influenza B (linaje indeterminado). La actividad de la influenza se mantuvo por encima del promedio de años previos, en el umbral epidémico (Gráficos 1 y 3). Los niveles de actividad del virus respiratorio sincitial y el porcentaje de positividad disminuyeron; adenovirus, parainfluenza y metapneumovirus se registraron en niveles superiores a los niveles previos a la pandemia para esta época del año. La actividad del SARS-CoV-2 aumentó levemente (21,2 %) con respecto al reporte previo (Gráficos 2 y 4). El número de consultas por enfermedad tipo influenza ha mostrado una tendencia creciente ubicándose en niveles de baja intensidad para esta época del año (Gráfico 5). De 280 casos de ETI, se tomaron muestras de 100; el 16,0 % fueron positivos a influenza, y el 5,0 % resultaron positivos para SARS-CoV-2, un 8,0 % resultó positivo para otros virus diferentes analizados. De igual forma, el número de casos de infección respiratoria aguda grave por cada 100 hospitalizaciones se mantuvo sin cambios en niveles de baja intensidad (Gráfico 6). De 164 casos de IRAG con muestras, el 11,6 % resultaron positivos para SARS-CoV-2 y el 1,2 % fueron casos de IRAG asociados a la influenza.

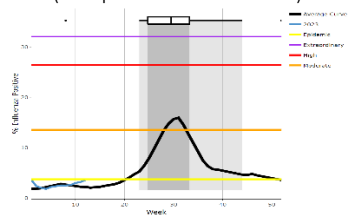
Graph 1. Chile: Influenza virus distribution, EW 12, 2015-23
Distribución de virus de influenza, SE 12, 2015-23



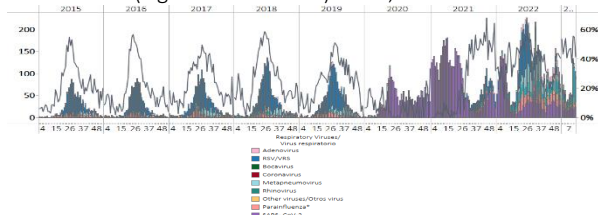
Graph 2. Chile: Influenza, RSV, and SARS-CoV-2, distribution, (sentinel surveillance) EW 12, 2015-23
Distribución de los virus influenza, VRS y SARS-CoV-2, (vigilancia centinela) SE 12, 2015-23



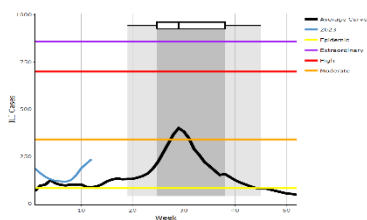
Graph 3. Chile: Percent positivity for influenza, EW 12, 2023 (compared to 2010-22)
Porcentaje de positividad de influenza, SE 12 de 2023 (comparado con 2010-22)



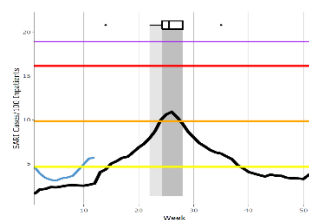
Graph 4. Chile: RSV, SARS-CoV-2, and other respiratory viruses distribution, (sentinel surveillance) EW 12, 2015-23
Distribución del VRS, SARS-CoV-2 y otros virus respiratorios (vigilancia centinela) SE 12, 2015-23



Graph 5. Chile: Number of ILI cases EW 12, 2023 (compared to 2015-22)
Número de consultas por ETI, SE 12 de 2023 (comparado con 2015-22)



Graph 6. Chile: SARI cases/100 hospitalizations (sentinel surveillance) EW 12, 2023 (compared to 2015-22)
Casos de IRAG/100 hospitalizaciones (vigilancia centinela), SE 12 de 2023 (comparado con 2015-22)

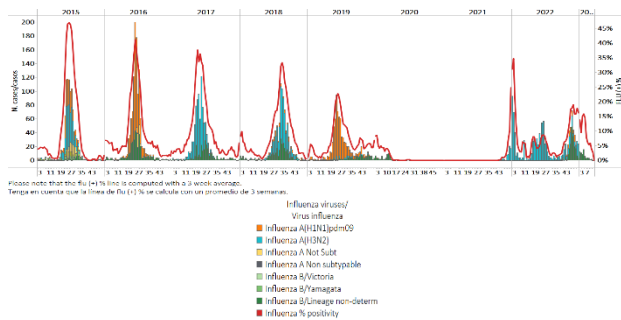




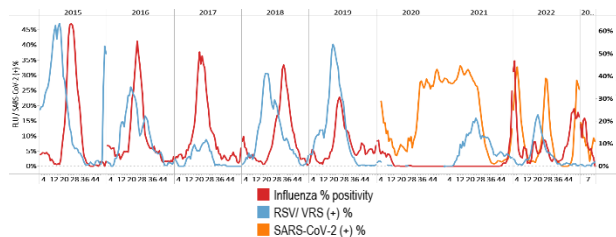
Paraguay

In EW 12 2023, no influenza detections were reported, with the circulation of influenza B (lineage undetermined) viruses in prior weeks. Influenza activity decreased to baseline levels; no RSV detections were registered with activity at low levels (Graphs 1, 2, and 3). Of 14 samples analyzed for SARS-CoV-2, one tested positive (7.1%); activity decreased compared to previously recorded (Graphs 2 and 4). SARI/100 hospitalizations at sentinel sites have remained above the average of previous years, although at baseline levels (Graph 5); ILI cases/1000 outpatients remained unchanged at baseline levels (Graph 6). / En la SE 12 de 2023, no se reportaron detecciones de influenza, con circulación de los virus influenza B (linaje indeterminado) en semanas previas. La actividad de la influenza disminuyó a los niveles basales; no se registraron detecciones de VRS con una actividad en niveles bajos (Gráficos 1, 2 y 3). De 14 muestras analizadas para SARS-CoV-2, una resultó positiva (7,1 %); la actividad disminuyó respecto al porcentaje registrado previamente (Gráficos 2 y 4). El número de casos de IRAG por cada 100 hospitalizaciones en los sitios centinela se ha mantenido por encima del promedio de años anteriores, aunque en niveles basales (Gráfico 5); mientras que el número de casos de ETI por cada 1000 pacientes ambulatorios se mantuvo sin cambios en los niveles de actividad basales (Gráfico 6).

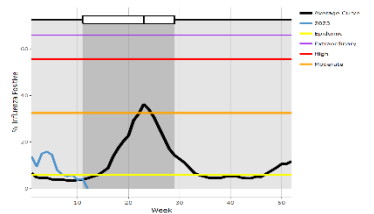
Graph 1. Paraguay: Influenza virus distribution
EW 12, 2015-23
Distribución de virus de influenza,
SE 12, 2015-23



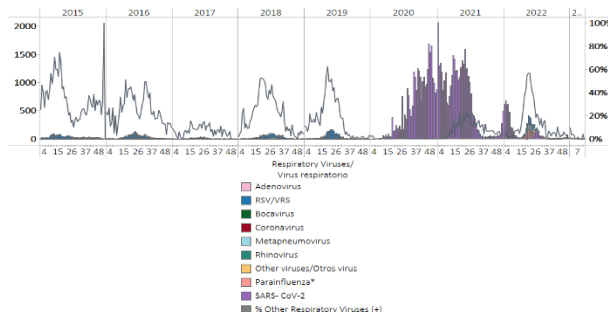
Graph 2. Paraguay: Influenza, RSV, and SARS-CoV-2 distribution,
EW 12, 2015-23
Distribución de los virus influenza, VRS y SARS-CoV-2,
SE 12, 2015-23



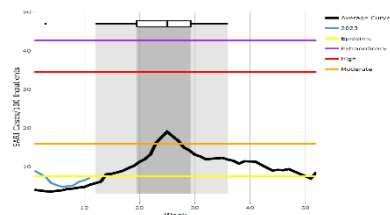
Graph 3. Paraguay: Percent positivity for influenza, EW 12, 2023
(in comparison to 2010-22)
Porcentaje de positividad de influenza, SE 12 de 2023
(comparado con 2010-22)



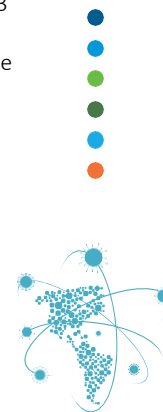
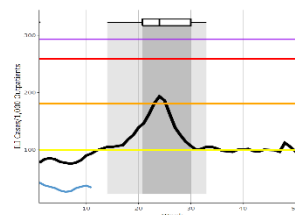
Graph 4. Paraguay: RSV, SARS-CoV-2, and other respiratory
viruses distribution, EW 12, 2015-23
Distribución del VRS, SARS-CoV-2 y otros virus respiratorios,
SE 12, 2015-23



Graph 5. Paraguay: Number of SARI cases / 100 inpatients
EW 12, 2023 (compared to 2015-22)
Número de casos de IRAG / 100 hospitalizaciones, SE 12 de 2023
(comparado con 2015-22)



Graph 6. Paraguay: ILI cases/1000 outpatients, EW 12, 2023
(compared to 2015-22)
Casos de ETI por cada 1000 consultas ambulatorias, SE 12 de
2023 (comparado con 2015-22)

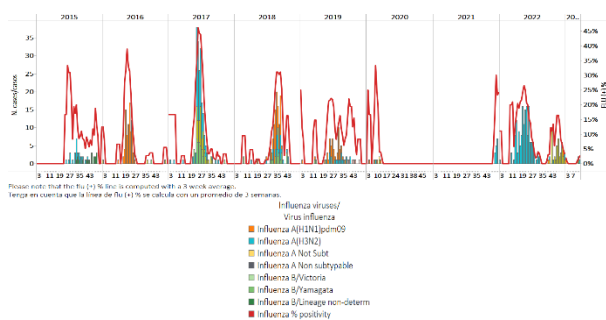




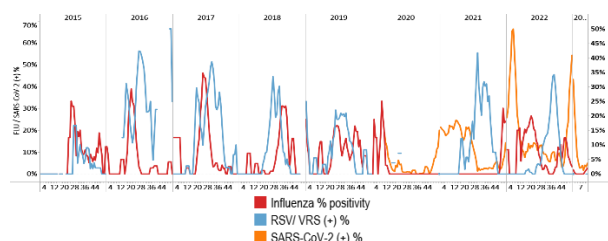
Uruguay

In EW 12 2023, a single influenza A(H3N2) detection was reported; percent positivity remained at baseline levels (Graphs 1 and 3). No respiratory syncytial virus detections were recorded. Of 42 samples tested for SARS-CoV-2, 2.4% tested positive (Graph 2). SARI cases/100 hospitalizations at sentinel sites have risen above the average of previous years at a low-intensity activity level (Graph 4). Among 22 SARI cases sampled, 4.5% were positive for SARS-CoV-2. No other viruses tested were identified. / En la SE 12 de 2023, se reportó una sola detección de influenza A(H3N2); el porcentaje de positividad se mantuvo en los niveles basales (Gráficos 1 y 3). No se registraron detecciones de virus respiratorio sincitial. De 42 muestras analizadas para SARS-CoV-2, el 2,4 % resultaron positivas (Gráfico 2). El número de casos de IRAG por cada 100 hospitalizaciones en sitios centinela se ha elevado por encima del promedio de años previos en un nivel de actividad de baja intensidad (Gráfico 4). De los 22 casos de IRAG con muestra el 4,5 % resultaron positivos para SARS-CoV-2. No se identificaron otros virus analizados.

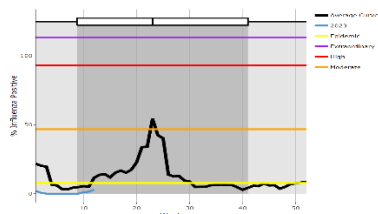
Graph 1. Uruguay: Influenza virus distribution EW 12, 2015-23
Distribución de virus de influenza, SE 12, 2015-23



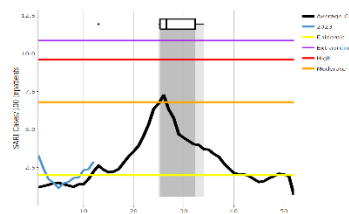
Graph 2. Uruguay: Influenza and RSV distribution, EW 12, 2015-23
Distribución de los virus influenza y VRS, SE 12, 2015-23



Graph 3. Uruguay: Percent positivity for influenza, EW 12, 2023
(compared to 2010-22)
Porcentaje de positividad de influenza, SE 12 de 2023
(comparado con 2010-22)



Graph 4. Uruguay: SARI cases/100 hospitalizations
(sentinel surveillance), EW 12, 2023 (compared to 2017-22)
Casos de IRAG por cada 100 hospitalizaciones (vigilancia centinela),
SE 12 de 2023 (comparado con 2017-22)





TECHNICAL NOTE

Average Curves

Average curves for influenza-like illness (ILI), acute respiratory infection (ARI), pneumonia, and severe acute respiratory infection (SARI) were generated using the WHO Average Curve App.

In the report, the average curve is shown in black and the ongoing season is shown in blue. The average curve shows a typical season in terms of both timing and intensity. The distribution of past seasonal peaks is shown with a boxplot and vertical shading. Thresholds depicting the intensity of activity are shown with colored lines⁶.

Viral distribution by year and epidemiological week

Please note that the percent positivity line of influenza and other respiratory virus is computed with a three (3) week average⁷.

NOTA TÉCNICA

Curvas promedio

Las curvas promedio para la enfermedad tipo influenza (ETI), infección respiratoria aguda (IRA), neumonía e infección respiratoria aguda grave (IRAG) se generaron utilizando la aplicación de Curva promedio de la OMS.

En el informe, la curva promedio se muestra en negro y la temporada en curso se muestra en azul. La curva promedio muestra una temporada típica en términos de tiempo e intensidad. La distribución de los picos estacionales anteriores se muestra con un diagrama de caja y sombreado vertical. Los umbrales que representan la intensidad de la actividad se muestran con líneas de colores⁵.

Distribución de los virus por año y semana epidemiológica

Tenga en cuenta que la línea del porcentaje de positividad para influenza y los otros virus respiratorios se calcula con un promedio de tres (3) semanas⁶.

⁶ WHO (2021), WHO Average Curves software, Version 0.3 (9 Oct 2019), © Copyright World Health Organization (WHO), Geneva.

⁷ World Health Organization. (2013). Global epidemiological surveillance standards for influenza. World Health Organization.

<https://apps.who.int/iris/handle/10665/311268>





ACRONYMS

ARI	Acute respiratory infection
CARPHA	Caribbean Public Health Agency
EW	Epidemiological week
ILI	Influenza-like illness
NIH	National Institute of Health
ORV	Other respiratory viruses
SARI	Severe acute respiratory infection
ICU	Intensive care unit
RSV	Respiratory syncytial virus

ACRÓNIMOS

CARPHA	Agencia de Salud Pública del Caribe
ETI	Enfermedad tipo influenza
INS	Instituto Nacional de Salud
IRA	Infección respiratoria aguda
IRAG	Infección respiratoria aguda grave
OVR	Otros virus respiratorios
SE	Semana epidemiológica
UCI	Unidad de cuidados intensivos
VRS	Virus respiratorio sincitial





SARInet plus
Severe Acute Respiratory Infections Network

PAHO



Pan American
Health
Organization



World Health
Organization
REGIONAL OFFICE FOR THE Americas

OPS



Organización
Panamericana
de la Salud



Organización
Mundial de la Salud
OFICINA REGIONAL PARA LAS Américas

2023